

04 - 07 JUILLET 2016

# OPTIQUE



## BORDEAUX 2016

**COLOQ HORIZONS JNOG JRIOA CLUBS PAMO-JSM (SFP)** 

15° COLLOQUE SUR LES LASERS ET L'OPTIQUE QUANTIQUE 20° CONFÉRENCE HORIZONS DE L'OPTIQUE 36° JOURNÉES NATIONALES D'OPTIQUE GUIDÉE

8° JOURNÉES RECHERCHE INDUSTRIE DE L'OPTIQUE ADAPTATIVE CLUBS THÉMATIQUES DE LA SFO

3º journées du club Nanophotonique et 4º journées nationales du Club Photonique Organique **INVITÉ SPÉCIAL** 

Colloque commun de la division de Physique Atomique, Moléculaire et Optique et les Journées de Spectroscopie Moléculaire de la

LA REMISE DES PRIX SFO | LA REMISE DU PRIX AIMÉ COTTON (SFP/PAMO)
L'EXPOSITION AU CŒUR DU CONGRÈS | LES RENCONTRES PÉDAGOGIQUES | LA SESSION
INDUSTRIELLE | LES STUDENT CLUBS ET CHAPTERS | LA VITRINE DE L'INNOVATION 2016

DATE LIMITE DE SOUMISSION : 1<sup>ER</sup> AVRIL 2016 www.sfoptique.org



































#### TABLE DES MATIERES

6

Lun	ai 4 juillet 2010	
14:00 -	Cérémonie d'ouverture - Session plénière 1	
Grand	Amphi	
14:00 14:05 14:15 14:25 14:35	Mot de bienvenue pour le comité scientifique commun et le comité d'organisation local, Philippe LALANNE Ouverture par le président de la SFO, Benoît BOULANGER Mot introductif par le président de l'Université de Bordeaux, Manuel TUNON de LARA Cluster d'excellence de l'université de Bordeaux LAPHIA, Lionel CANIONI Le pôle de compétitivité Route des lasers, Jean Pierre GIANNINI ou Hervé FLOCH	
14:45	L'effet Hong Ou et Mandel: au cœur de la seconde révolution quantique  A. Aspect	1
Mar	di 5 juillet 2016	
16:00 - Grand	Session plénière 2 Amphi	
16:00	Quantum optics in photonic nanostructures using high-energy electrons  A. Polman	2
16:40	Confinement moléculaire : une nouvelle voie pour la nanophotonique?  M. Blanchard-Desce	2
17:10	Lauréat du grand prix Léon Brillouin	
	Des miroirs hors norme à l'écoute de l'espace-temps	
	J. Degallaix, L. Balzarini, V. Dolique, R. Flaminio, D. Forest, M. Granata, B. Lagrange, L. Pinard, C. Michel, N. Straniero, J. Teillon et G. Cagnoli	-
16:30	Étude du trou noir super-massif au centre de la Galaxie avec l'instrument GRAVITY <u>G. Perrin</u>	1
17:00	Arrêter la lumière dans une fibre: la rencontre des atomes froids et de la nanophotonique <u>J. Laurat</u>	1
17:30	Art et astronomie. Impressions célestes <u>Y. Nazé</u>	į
14:00 -	li 7 juillet 2016 Session plénière 4	
Grand	Amphi ———	
14:00	Générer et manipuler des photons uniques avec des atomes artificiels  P. Senellart	1
14:35	Dynamiques ultrarapides paradoxales dans les lasers à fibre optique  P. Grelu	1
15:10	Génération d'harmoniques, molécules chirales et dynamiques ultrarapides  S. Beaulieu, A. Comby, R. Géneaux, V. Blanchet, D. Descamps, A. Ferré, G. Garcia, Y. Mairesse, E. Mével, L. Nahon, S. Petit,	2

B. Pons, T. Ruchon et <u>B. Fabre</u>...

15:40	2015, Année de la Lumière en France est un immense succès ! C. Subran	24
16:00	Clôture et remerciements	25
Mar	di 5 juillet 2016	
	Rencontres pédagogiques	
Grand .	Amphi	
14:00	Quelques opticiennes (pas assez) célèbres         C. Champenois	2:
14:20	Le MOOC 'Physique des objets de quotidien' <u>U. Delabre</u>	20
14:35	Une approche expérimentale de l'optique en licence  G. Latour, M. Godard et V. Guillet	2
14:55	Le plateau pédagogique laser de l'Université de Bordeaux au service de la formation initiale et continue  I. Manek-Hönninger	28
15:10	Mallette pédagogique pour l'holographie : comment faire des expériences pour l'enseignement supérieur en s'affranchissant simplement des vibrations parasites  A. Escarguel et R. Baude	25
	Session industrielle	
Amphi		
14:00	Photonique mondiale, stratégie et perspectives <u>C. Subran</u>	30
14:15	CNOP - Photonique française, actions et perspectives  P. Brégi	3
14:30	ALPhANOV - Création d'entreprises autour des lasers à fibres: enjeu de l'intégration  B. Appert-Collin	32
14:45	POIETIS, La start-up à l'interface photonique - bioimpression tissulaire  B. Viellerobe	3.
15:00	Accélérateur innovants de particules et de rayonnement par laser ultra-intense  F. Sylla	34
15:15	Présentations flash de 5 minutes	
17•30 -	Assemblée Générale de la SFO	
Grand		
17:30	Assemblée Générale	

## 18:30 - Session étudiante

Grand Amphi

18:30 Quiz

## Lundi 4 juillet 2016

	JNOG - Effets Nonlinéaires en optique Guidée	
Amphi	D	
16:00	Réservoir computing opto-electronique : l'ordinateur du futur sera-t-il photonique et analogique?  S. Massar	35
16:30	Première observation de l'effet papillon dans un laser à cascade quantique émettant dans le moyen infra-rouge  L. Jumpertz, K. Schires, M. Sciamanna, M. Carras et <u>F. Grillot</u>	38
17:00	Emission d'ondes dispersives par un train de solitons noirs <u>T. Marest</u> , C. Mas Arabi, M. Conforti, A. Mussot, C. Milian, D. Skryabin et A. Kudlinski	41
17:15	Laser à verrouillage de modes par rotation non-linéaire de la polarisation dans des fibre PM <u>S. Boivinet</u> , JB. Lecourt, A. Gognau, Y. Hernandez, A. Fotiadi, M. Wuilpart et P. Mégret	44
17:30	Les fibres optiques entrent dans une nouvelle ère spatio-temporelle K. Krupa, A. Tonello, R. Dupiol, A. Bendahmane, B. Shalaby, M. Fabert, A. Barthélémy, G. Millot, S. Wabnitz et V. Couderc	47
17:45	Renforcement des interactions nonlinéaires par excitation cohérente d'une micro-cavité  S. Serna, M. Hanna, X. Le Roux, P. Delaye, E. Cassan et N. Dubreuil	50
18:00	Conception de Fibres Apériodiques Passives à Grande Aire Effective ne Propageant qu'une Polarisation du Mode Fondamental  R. Du Jeu, D. Darwich, R. Dauliat, A. Benoît, R. Jamier, K. Schuster et P. Roy	53
18:15	Observation de la diffusion Brillouin de surface dans une fibre optique à cristal photonique  J.C. Tchahame Nougnihi, JC. Beugnot, K. Phan Huy, V. Laude, A. Kudlinski et T. Sylvestre	50
Mar	di 5 juillet 2016	
8:45 - J	NOG - Session Télécom et Photonique Si	
Amphi	D	
8:45	Nanolaser couplés à cristal photonique <u>A. Yacomotti</u>	59
9:15	Modulateurs optiques pour la photonique sur silicium  A. Abraham, S. Olivier, M. Fournier, A. Myko, L. Vivien et D. Marris-Morini	62
9:30	Génération sur puce de silicium de paires de photons multiplexés en longueur d'onde <u>F. Mazeas</u> , W. Zhang, M. Traetta, M. Bentivegna, F. Kaiser, D. Aktas, C.A. Ramos, L.A. Ngah, T. Lunghi, X. Le Roux, D. Marris-Morini, L. Vivien, E. Cassan, L. Labonté et S. Tanzilli	65
9:45	Une approche entièrement guidée pour l'optique quantique en régime de variables continues.  B. Fedrici, F. Kaiser, A. Zavatta, V. D'auria et S. Tanzilli	68
10:00	Influence des propriétés fréquentielles de différents lasers DML sur les performances d'une émission duo-binaire à 20 Gbit/s	
10:15	J. Konopacki, B. Le Guyader, N. Genay, L. Anet Neto, P. Chanclou et D. Erasme  Démonstrateur WDM Très Haut Débit sur Silicium Constitué d'Anneaux Résonants	71
	<u>JB. Quélène</u>	74
Mer	credi 6 juillet 2016	
<u>8:45 - J</u>	NOG - Nouveaux Matériaux	
Amphi	D	
8:45	Fibres Optiques Hybrides Multi-Matériaux  F. Sorin, Y. Qu, T. Das Gupta, D.T. Nguyen, W. Yan, A. Page et M. Volpi	73
9:15	Réseaux Métalliques pour le Couplage dans des Guides en Dioxyde de Titane  M. Lamy, K. Hammani, J. Arocas, C. Finot et JC. Weeber	80
9:30	Équilibre du photo-noircissement des fibres alumino-silicate dopée thulium pompée POMPÉE à 1.07 $\mu$ m: effet quantitatif du lanthane, cérium et du thulium.	
	<u>JF. Lupi</u> , M. Vermillac, W. Blanc, F. Mady, M. Benabdesselam, B. Dussardier et D. Neuville	83
9:45	Microdisque de Carbure de Silicium Sur Pilier de Silicium Sondé Par Couplage Evanescent  D. Allioux, A. Belarouci, D. Hudson, N. Singh, E. Mägi, G. Beaudin, A. Michon, R. Orobtchouk et C. Grillet	86

Développement d'une plateforme en optique intégrée en verres de chalcogenures pour les moyen infrarouge

A. Gutiérrez-Arroyo, L. Bodiou, J. Lemaitre, I. Hardy, <u>J. Charrier</u>, E. Baudet, F. Starecki, C. Boussard-Plédel, B. Bureau, V. Nazabal, J.-L. Doualan, A. Braud et P. Camy.....

10:00

10:15	Fibres Ruban De Zinc-Phosphate-Argent Photo-Inscriptibles  S. Danto, F. Desevedavy, Y. Petit, JC. Desmoulin, A. Abou Khalil, C. Strutynski, M. Dussauze, F. Smektala, T. Cardinal et L. Canioni	92
	JNOG - Amplificateurs et lasers à fibre	
Amphi	D .	
11:00	Synthèse Cohérente de Faisceaux Brillants et d'Impulsions Brèves à Partir de Sources Laser à Fibre  V. Kermène, A. Desfarges-Berthelemot, R. Florentin, D. Kabeya, P. Rigaud et A. Barthélémy	95
11:30	Combinaison Cohérente dans une Fibre Multicoeurs Dopée Er3+ <u>F. Prevost</u> , M. Hanna, P. Ramirez, G. Bouwmans, L. Bigot et L. Lombard	98
11:45	Système laser entièrement fibré délivrant des impulsions nanosecondes supérieures à $100\mu J$ et un faisceau cohérent de profil d'intensité aplati F. Scol, P. Gouriou, A. Perrin, JF. Gleyze, L. Bigot, A. Cassez, C. Valentin, G. Bouwmans et E. Hugonnot	101
12:00	Focalisation de l'énergie par contrôle modal à la sortie d'une fibre amplificatrice à grand nombre de modes  R. Florentin, V. Kermène, A. Desfarges-Berthelemot, D. Pagnoux et A. Barthélémy	104
12:15	Coherent beam combining of 19 fibers in femtosecond regime <u>J. Le Dortz</u> , A. Heilmann, M. Antier-Murgey, J. Bourderionnet, C. Larat, I. Fsaifes, L. Daniault, S. Bellanger, C. Simon Boisson, JC. Chanteloup, E. Lallier et A. Brignon	107
12:30	Forte réduction du bruit d'intensité d'un laser par filtrage d'un laser Brillouin pour les ordres de Stokes 1 et 2 S. Fresnel, S. Trebaol, C. Pareige, <u>P. Besnard</u> et S. Larochelle	110
12:45	Laser à fibre impulsionnel contrôlé par algorithme d'évolution <u>U. Andral</u> , J. Buguet, R. Si Fodil, F. Amrani, F. Billard, E. Hertz et P. Grelu	113
Amphi		
9:00	Les MIMs (Metal-Isolant-Metal): des guides ultra-courts pas comme des autres  A. Vasanelli, Y. Todorov, B. Askenazi, I. Sagnes et C. Sirtori	116
9:30	Dynamiques spectrales et propriétés de bruit dans les lasers InGaN  A. Congar, K. Hussain, C. Pareige, JM. Lamy, E. Feltin, R. Butté, N. Grandjean, P. Besnard et S. Trebaol	119
9:45	Lasers tout Cristal Photonique à pompage électrique émettant en continu dans le moyen Infra-Rouge  B. Adelin, A. Monmayrant, P. Dubreuil, A. Lecestre, Y. Rouillard, G. Boissier, M. Bahriz, A. Vicet et O. Gauthier-Lafaye	122
10:00	Caractérisation par corrélations quantiques de la région de seuil d'un microlaser de classe B  D. Aktas, T. Wang, O. Alibart, G.L. Lippi, E. Picholle et S. Tanzilli	126
10:15	Direct Observation of Thermally Excited Zenneck Waves on SiO2 Sub- wavelength Layers from Mid to Near-infrared S. Gluchko, B. Palpant, S. Volz, R. Braive et T. Antoni	129
	JNOG - Nouvelles méthodes et caractérisations	
Amphi	D	
11:00	Convertisseurs de longueur d'onde RAMBIO, principe et applications  M.C. Phan Huy, P. Delaye, G. Pauliat et S. Lebrun	131
11:30	Caractérisation d'un laser fibré à effet Talbot <u>C. Schnebelin</u> et H. Guillet De Chatelus	134
11:45	Laser femtoseconde entièrement fibré émettant à 1650 nm et application à la microscopie tri-photonique  P. Cadroas, L. Kotov, L. Abdeladim, M. Likhachev, D. Lipatov, JT. Gomes, D. Gaponov, A. Hideur, J. Livet, W. Supatto, E. Beaurepaire et S. Février	137
12:00	L'indice effectif moyen: un acteur clé dans la réponse des réseaux de Bragg fibrés à la courbure  R. Guyard, D. Leduc, Y. Lecieux et C. Lupi	140
12:15	Échantillonneur et amplificateur tout optique par modulation temporelle de phase  J. Nuno, M. Gilles, M. Guasoni, <u>C. Finot</u> et J. Fatome	143
12:30	ude de la propagation du mode LP01 dans une fibre de Bragg ur large (50m) a longueur de 1860nm G. Granger, M. Jossent, M. Likhachev et S. Février	146

#### Stands pédagogiques

S0	Mallette pédagogique pour l'holographie : comment faire des expériences pour l'enseignement supérieur en s'affranchissant simplement des vibrations parasites	
	A. Escarguel et R. Baude	149
S1	HOBIT: Hybrid optical benches for innovative teaching  B. Bousquet, L. Canioni, JP. Guillet, M. Hachet, S. Fleck, D. Furio, B. Coulais et J. Bergognat	150
S2	La tomographie par cohérence optique : un projet expérimental <u>G. Latour</u> , M. Godard, V. Guillet et M. Jacquey	151
<b>S</b> 3	VP2L : Un Serious Game en réalité virtuelle 3D appliqué à la formation aux technologies optique et laser <u>L. Dutertre</u> , B. Fabre, E. D'Humières, S. Petit, D. Lyoen, J. Dronval, E. Boeri et E. Cormier	152
S4	Un ensemble polyvalent d'expériences optiques de démonstration  R. Mathevet	153

## L'EFFET HONG OU ET MANDEL: AU CŒUR DE LA SECONDE REVOLUTION QUANTIQUE

#### Alain Aspect1

<sup>1</sup> Institut d'Optique Graduate School, 2 avenue augustin fresnel, 91127 Palaiseau, France alain.aspect@institutoptique.fr

#### RÉSUMÉ

On sait que la seconde révolution quantique repose sur l'intrication, découverte par Einstein et Schrödinger en 1935, et dont le caractère extraordinaire est mis directement en évidence par la violation expérimentale des inégalités de Bell. Bien que découvert après ces expériences, en 1986, l'effet Hong Ou et Mandel, lui aussi basé sur l'intrication, est conceptuellement plus simple. Dans notre programme visant à revisiter les grandes étapes de l'optique quantique en remplaçant les photons par des atomes, nous avons récemment réussi à observer l'effet Hong Ou et Mandel avec des atomes d'hélium métastable. Après avoir présenté l'effet Hong Ou et Mandel original et expliqué son importance dans le développement de l'optique quantique, je décrirai notre expérience récente, et évoquerai nos projets de tests des inégalités de Bell avec des atomes intriqués.

MOTS-CLEFS : effet hong ou et mandel ; optique quantique ; atome intriqué

## QUANTUM OPTICS IN PHOTONIC NANOSTRUCTURES USING HIGH-ENERGY ELECTRONS: FEMTOSECOND PLASMONIC AND PHOTONIC WAVEPACKETS ON METASURFACES

#### **Albert Polman**

Center for Nanophotonics, FOM Institute AMOLF, Amsterdam, the Netherlands polman@amolf.nl

#### RÉSUMÉ

We use 30 keV electrons to create femtosecond plasmonic and photonic wave packets from metallic and dielectric metasurfaces, determining their polarization-and angle-resolved emission spectra, resonant modal field density of states and dispersion, and 3D tomographic field reconstructions.

**MOTS-CLEFS**: cathodoluminescence, metasurfaces, wavepackets

#### 1. Introduction

A fast electron beam passing through the surface of a polarizable material generates a single-cycle electric field oscillation near the surface that couples strongly to the free or bound electrons in the material. This ultrafast field oscillation presents a spectrally broadband excitation from deep UV to near IR, and the nanoscale electron probe size results in deep-subwavelength spatial excitation resolution. Indeed, electron beam excitation is one of the purest forms of optical excitation, directly addressing the quantum nature of optical matter.

#### 2. EXPERIMENTS AND RESULTS

We use a 30 keV electron beam to create femtosecond plasmonic and photonic wave packets from metallic and dielectric metasurfaces. The electron beam is raster-scanned over the sample while the emitted light is collected ("cathodoluminescence"). In this way an optical excitation map is made that reflects the local optical density of states, at a spatial resolution well below the optical diffraction limit.

From the images the dispersion and local modes of resonant plasmonic and dielectric nanostructure are directly determined. In angle-resolved mode, the azimuthal and zenithal CL emission distributions are measured, probing the angular radiation profile of optical nanoantennas and allowing for momentum spectroscopy to reconstruct the optical band structure in photonic and plasmonic crystals. In polarization-resolved mode, the full polarization state of the emitted light is determined, allowing distinction between linearly and circularly polarized light in a spatially and angle-resolved way. In tomographic mode, 2D CL images are taken under multiple angles of incidence, and a 3D image of the local field distributions is obtained from a tomographic construction. We perform analytical calculations of the time evolution of the plasmonic and photonic fields and show they correspond to wave packets composed of 5-10 optical cycles.



Figure 1. Cathodoluminescence microscope developed at AMOLF using a 30 keV electron beam and a parabolic mirror light collector.

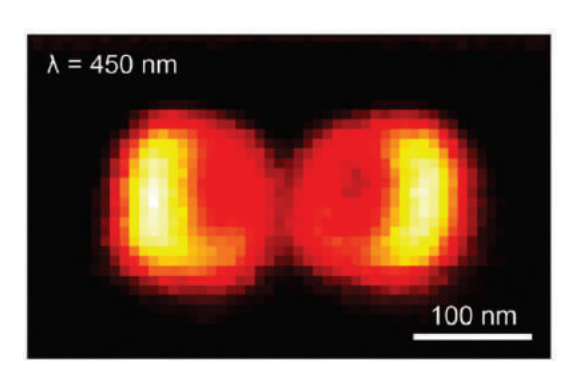


Figure 2. Cathodoluminescence image of  $p_x$ - $p_x$  hybridized silicon Mie resonator bonding modal field at  $\lambda$ =450 nm.

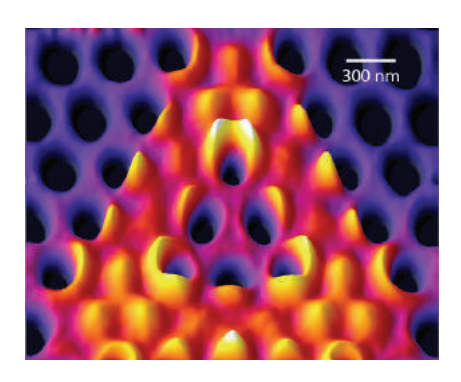


Figure 3. Cathodoluminescence microscopy image of photonic crystal cavity field distribution in SiN membrane, taken at  $\lambda$ =700 nm.

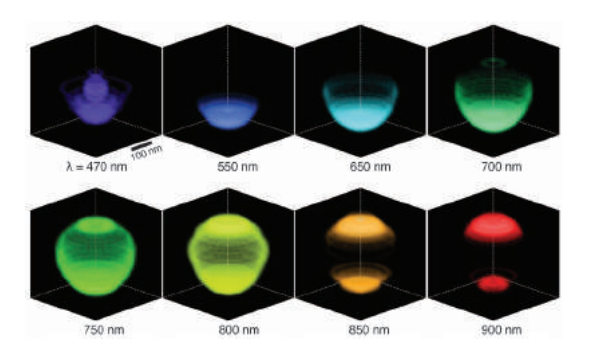


Figure 4. 3D Tomographic reconstruction of localized modes in PMMA/Au core-shell cusp cavity measured with cathodoluminescence.

- [1] For details: see: www.erbium.nl/arcis
- [2] Direct imaging of hybridized eigenmodes in coupled silicon nanoparticles, J. van de Groep, T. Coenen, S.A. Mann, and A. Polman, Optica 3, 93 (2016)
- [3] Nanoscale spatial coherent control over the modal excitation of a coupled plasmonic resonator system, T. Coenen, D.T. Schoen, S.A. Mann, S.R.K. Rodriguez, B.J.M. Brenny, A. Polman, and M.L. Brongersma, Nano Lett. **15**, 7666 (2015)
- [4] Nanoscale optical tomography with cathodoluminescence spectroscopy, A. Atre, B.J.M. Brenny, T. Coenen, A. Polman and J.A. Dionne, Nature Nanotech. 10, 429 (2015)
- [5] Experimental verification of n=0 structures for visible light, E.J.R. Vesseur, T. Coenen, H. Caglayan, N. Engheta, and A. Polman, Phys. Rev. Lett. **109**, 013902 (2013)
- [6] Deep-subwavelength imaging of the modal dispersion of light, R. Sapienza, T. Coenen, J. Renger, M. Kuttge, N.F. van Hulst, and A. Polman, Nature Mater. 11, 781 (2012)

## CONFINEMENT MOLECULAIRE: UNE NOUVELLE VOIE POUR LA NANOPHOTONIQUE ?

#### Mireille Blanchard-Desce

Institut des Sciences Moléculaires UMR CNRS 5255, Université de Bordeaux, 33405 Talence, France

mireille.blanchard-desce@u-bordeaux.fr

#### RÉSUMÉ

Une approche « bottom-up » exploitant le confinement moléculaire permet d'accéder à des nanoparticules hyperbrillantes, accordables et présentant des réponses optiques exaltées, d'intérêt majeur pour l'imagerie.

MOTS-CLEFS: nanophotonique, fluorescence, absorption non-linéaire

#### 1. Introduction

Le champ de la nanophotonique connaît actuellement un fort développement lié tant à la recherche de propriétés et comportements inédits qu'aux potentialités ouvertes dans différents domaines allant de l'énergie aux sciences du vivant. Les nanomatériaux qui ont suscité le plus d'intérêt dans ce domaine sont essentiellement inorganiques (i.e. métalliques, semi-conducteurs, oxydes...). Toutefois la voie « tout-organique » et plus particulièrement celle basée sur l'utilisation de petites molécules spécialement adaptées constitue une piste particulièrement prometteuse.<sup>[1]</sup> Ainsi, si les quantums dots sont associés à des développements majeurs en imagerie (in vivo, superrésolution...) et leur succès lié à leurs remarquables propriétés optiques, ils présentent toutefois certaines limitations en termes de biodégradabilité et de toxicité. Par ailleurs, du fait du confinement quantique, la modulation de leur taille s'accompagne d'une modulation de leur fluorescence (i.e. déplacement vers les plus grandes longueurs d'onde avec l'augmentation de taille). Dans ce contexte nous avons mis en place une démarche « bottom-up » basée sur le confinement moléculaire de chromophores organiques originaux au sein de nanoparticules « tout-organiques ». Notre but était d'accéder à des nanoparticules luminescentes de taille et couleur indépendamment contrôlables, hyperbrillantes, stables en milieu biologique, biocompatibles et présentant une excellente photostabilité. La réalisation de tels nano-objets photoniques - à base exclusive de molécules- constituait toutefois un défi tant en termes de stabilité, qu'en termes de propriétés optiques dans la mesure où les fluorophores organiques sont connus pour leur plus faible brillance et leur moins bonne résistance au photoblanchiment, vis-à-vis notamment des quantum dots.

### 2. UNE STRATEGIE BOTTOM-UP BASEE SUR LE CONFINEMENT DE CHROMOPHORES MULTIPOLAIRES POLARISABLES

L'approche mise en œuvre s'appuie sur une classe de nanoparticules relativement récente et présentant néanmoins des potentialités majeures en optique: les nanoparticules fluorescentes à base de petites molécules (aussi désignées par l'acronyme FONs pour Fluorescent Organic Nanoparticles). [1] Ces nanoparticules peuvent être préparées dans l'eau, par simple auto-agrégation spontanée de molécules particulières (i.e. spécifiquement « conçues pour »). Cette approche repose sur une véritable « ingénierie » des sous-unités moléculaires (i.e. chromophores) constituant la nanoparticule et une maitrise des effets d'interactions entre ces sous-unités. Cette double contrainte est une des caractéristiques majeures des nanoparticules à base de molécules, à l'origine à la fois de leur spécificité, de leur richesse et de leur complexité. En effet, dans le cas des nanoparticules incorporant des colorants organiques classiquement utilisées (i.e. à base de silice, de polymères, de lipides, ou de tensioactifs), les molécules de colorants sont dispersées et n'interagissent pas (ou peu)

entre-elles. La situation est tout autre dans le cas des FONs car ce sont au contraire les forces intermoléculaires qui en assurent la cohésion, produisant des édifices organisés et stables dans l'eau. Au-delà, ces interactions peuvent être manipulées et exploitées pour *modifier* les caractéristiques optiques des nanoparticules. Le design des FONs relève donc d'un exercice subtil de « lego moléculaire interactif » dans lequel non seulement la nature des sous-unités moléculaires joue un rôle mais leur assemblage module leur couleur et leur brillance. Le choix des unités chromophoriques et de leur mode d'interaction est donc déterminant et la démarche d'ingénierie doit intégrer les deux niveaux. Dans ce contexte, la stratégie que nous avons mis en œuvre repose sur le design et l'utilisation de *chromophores multipolaires polarisables* (dipolaires, quadrupolaires, octupolaires) spécifiquement dédiés (Figure 1).

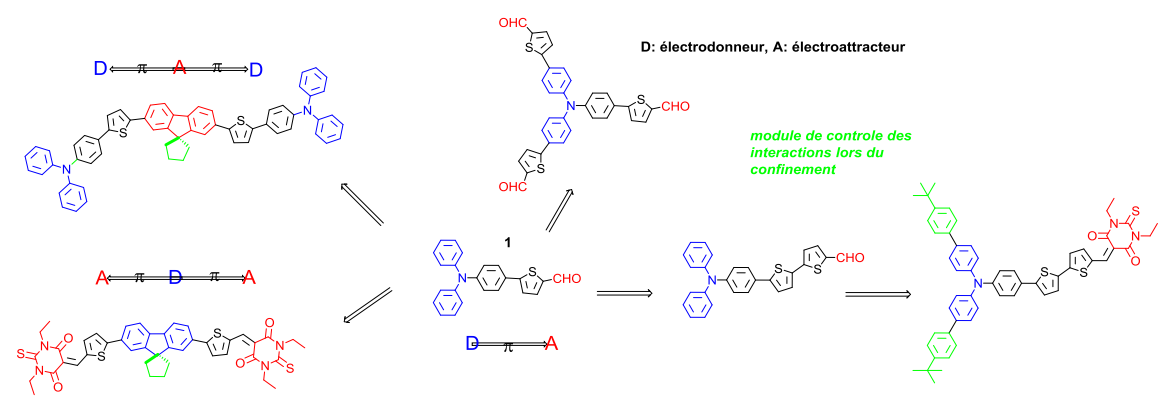


Fig. 1 : Exemples de chromophores multipolaires polarisables dédiés à l'élaboration de nanoparticules organiques ultra-brillantes et accordables.

La structure des chromophores (D, A, connecteur  $\pi$  conjugué) permet de moduler aisément leurs propriétés d'absorption et de fluorescence et leur confère des propriétés optiques non-linéaires marquées. De tels systèmes sont de plus destinés à engendrer de fortes *interactions électrostatiques* lors de leur confinement. La stratégie choisie consiste à la fois à *amplifier* (en jouant sur les distances et les dipôles locaux) et *à orienter* (en jouant sur la topologie de la molécule et sa géométrie) ces interactions pour moduler et exalter les réponses optiques lors du confinement moléculaire. Ceci concerne tant (i) la luminescence (via l'intervention de couplages excitoniques pouvant conduire à une amplification et décalage de l'émission) que (ii) les réponses optiques non-linéaires.

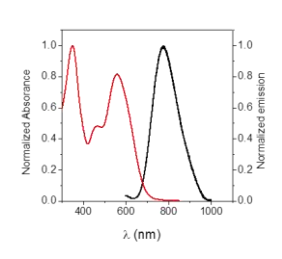
La nature même de ces chromophores (polarité *et* polarisabilité élevées) ouvrait des possibilités jusqu'alors inexplorées et nous a effectivement permis d'accéder à une palette de nanoparticules de tailles modulables (5-50 nm) et couleurs variées (balayant le visible jusqu'au proche infra-rouge), présentant de plus des brillances comparables, voire très supérieures à celles des quantum dots.<sup>[2-6]</sup> Il est de plus possible d'exalter les réponses optiques non-linéaires et la luminescence de telles nanoparticules en pilotant en amont les interactions,<sup>[6]</sup> mais également de développer des *nanoparticules tout-organiques cœur-écorce* qui présentent à la fois un confinement de la luminescence à l'interface entre le cœur et l'écorce et une exaltation des réponses optiques.<sup>[7]</sup>

#### 3. VERS DES NANOTRACEURS HYPERBRILLANTS POUR L'IMAGERIE DU VIVANT

L'ingénierie moléculaire des sous-unités chromophoriques constituant la nanoparticule permet également de moduler les propriétés de surface des nanoparticules. Ces dernières sont très importantes car elles déterminent la stabilité des nanoparticules et influent fortement sur leur devenir en milieu biologique, un paramètre crucial pour l'utilisation de ces nanoparticules comme traceurs ou marqueurs en imagerie du vivant. Ainsi des nanoparticules ultrabrillantes biocompatibles et extrêmement stables en milieu biologique ont pu être obtenues et utilisées en

imagerie *in vivo* (microscopie biphotonique) pour réaliser l'angiographie sur le petit animal<sup>[2]</sup> et en démontrer l'innocuité Plus encore, il possible en jouant sur la nature des sous-unités chromophoriques, de produire des nanoparticules dotées d'une remarquable résistance au photoblanchiment. Cette propriété (inédite pour les composés organiques) permet de réaliser un suivi spatio-temporel de particules uniques, ouvrant la voie à une *imagerie dynamique multicolore* aussi bien en milieu aqueux qu'à l'intérieur les cellules (Figure 2).<sup>[4,7]</sup>





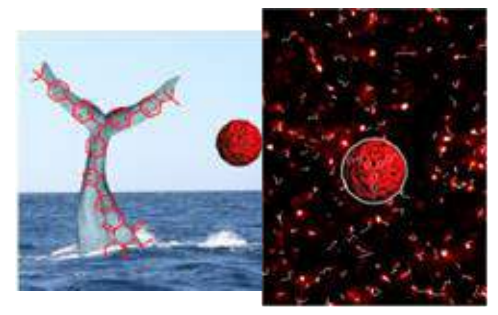


Fig. 2 : Imagerie de nanoparticules hyper-brillantes émettrices dans le proche IR (HIFONs) dans des cellules COS (gauche) et suivi dans l'eau (droit) [4]

#### **CONCLUSION**

Le confinement contrôlé de modules chromophoriques « interactifs » multipolaires et polarisables constitue une approche originale qui permet d'accéder à des nanoparticules hyperbrillantes et biocompatibles, combinant brillances exceptionnelles et (stabilité et) photostabilité remarquables, tout en s'affranchissant des problèmes de toxicité intrinsèque aux nanoparticules semi-conductrices. De ce fait, ces nano-objets ouvrent des perspectives très importantes en imagerie du vivant et nanoscopie. De plus des effets de confinement de luminescence et d'exaltation des propriétés optique non-linéaires inédits ouvrent un nouveau champ en nanophotonique moléculaire.

- [1] A. Patra, C. G. Chandaluri, and T. P. Radhakrishnan, "Optical materials based on molecular nanoparticles," Nanoscale, vol. 4, 343-359, 2012.
- [2] V. Parthasarathy, S. Fery-Forgues, E. Campioli, G. Recher, F. Terenziani, and M. Blanchard-Desce, "Dipolar versus Octupolar Triphenylamine-Based Fluorescent Organic Nanoparticles as Brillant One- and Two-Photon Emitters for (Bio)imaging", Small, vol. 7, pp. 3219-3229, 2011.
- [3] K. Amro, J. Daniel, G. Clermont, T. Bsaibess, M. Pucheault, E. Genin, M. Vaultier, and M. Blanchard-Desce, "A New Route towards Fluorescent Organic Nanoparticles with Red-shifted Emission and Increased Colloidal Stability," Tetrahedron, vol. 70, pp. 1903-1909, 2014.
- [4] E. Genin, Z. Gao, J. A. Varela, J. Daniel, T. Bsaibess, I. Gosse, L. Groc, L. Cognet, and M. Blanchard-Desce, "«Hyper-bright» Near-Infrared Emitting Fluorescent Organic Nanoparticles for Single Particle Tracking," Adv. Mater., vol. 26, pp. 2258–2261, 2014.
- [5] J. Daniel, A. G. Godin, M. Palayret, B. Lounis, L. Cognet, and M. Blanchard-Desce, "Innovative molecular-based fluorescent nanoparticles for multicolor single particle tracking in cells," J. Phys. D: Appl. Phys., vol. 49, pp. 084002-084012, 2016.
- [6] J.-B. Verlhac, J. Daniel, P. Pagano, G. Clermont, and M. Blanchard-Desce, "Enhanced two-photon brightness in molecular-based organic nanoparticles built from articulated-dipoles", C. R. Chimie, vol. 19, pp. 28-38, 2016.
- [7] E. Campioli, C. Rouxel, M. Campanini, L. Nasi, M. Blanchard-Desce, F. Terenziani, "Enforcing Luminescence at Organic Nanointerfaces: Luminescence Spatial Confinement and Amplification in Molecular-Based Core-Shell Nanoparticles," Small, vol.9, pp. 1982–1988, 2013; E. Campioli, D.-M. Nikolaidou, V. Hugues, M. Campanini, L. Nasi, M. Blanchard-Desce, F. Terenziani, "Amplified Two-Photon Brightness in Organic Multicomponent Nanoparticles," J. Mater. Chem. C, vol. 3, pp. 7483-7491, 2015.

#### DES MIROIRS HORS NORME À L'ÉCOUTE DE L'ESPACE-TEMPS

Jérôme Degallaix<sup>1</sup>, Laurent Balzarini<sup>1</sup>, Vincent Dolique<sup>1</sup>, Raffaele Flaminio<sup>2</sup>, Danièle Forest<sup>1</sup>, Massimo Granata<sup>1</sup>, Bertrand Lagrange<sup>1</sup>, Laurent Pinard<sup>1</sup>, Christophe Michel<sup>1</sup>, Nicolas Straniero<sup>1</sup>, Julien Teillon<sup>1</sup>, Gianpetro Cagnoli<sup>1</sup>

<sup>1</sup> Laboratoire des Matériaux Avancés (LMA), IN2P3/CNRS,69100 Villeurbanne, France
 <sup>2</sup> National Astronomical Observatory of Japan, 2-2-1 Osawa, Mitaka, 181-8588 Tokyo, Japon j.degallaix@lma.in2p3.fr

#### RÉSUMÉ

Dans cette article les défis dans la réalisation des grandes optiques des détecteurs interférométriques d'ondes gravitationnelles sont présentés. Ces instruments, de plusieurs kilomètres de long, utilisent les optiques les plus précises jamais réalisées, et ce, tant au niveau du polissage que du dépôt.

MOTS-CLEFS: Miroirs; Ondes gravitationnelles; Dépôts;

#### 1. A L'AUBE D'UNE NOUVELLE ASTRONOMIE

Le 11 Février 2016 e été marqué par l'annonce par la collaboration LIGO et Virgo de la première détection directe des ondes gravitationnelles sur Terre [1]. Cet évènement marque le début d'une révolution avec un moyen d'observation totalement inédit, sensible aux perturbations mêmes de l'espace temps. Outre que cette découverte confirme de manière éclatante la théorie de la Relativité Générale dans des régimes jamais testés auparavant, elle ouvre aussi une nouvelle fenêtre sur l'univers. Cette nouvelle astronomie va permettre de comprendre les mécanismes de formation des trous noirs massifs, de recenser les objets binaires comme les couples d'étoiles à neutron, de comprendre la nature des pulsars ou bien l'origine des sursauts de rayons gamma. Et ceci n'est possible qu'avec des détecteurs interférométriques qui repoussent les limites de la technologie.

#### 2. DES INTERFÉROMÈTRES DE L'EXTRÊME

Le principe du détecteur d'onde gravitationnelle est basée sur un interféromètre de Michelson géant. En particulier, les deux bras perpendiculaires sont des cavités Fabry-Pérot longues de plusieurs kilomètres. Le schéma optique simplifié du détecteur est présenté sur la figure 1.

Le miroir de fond des cavités des bras est extrêmement réfléchissant (transmission de quelques ppm), ce qui a pour conséquence que toute la lumière incidente sur la cavité est aussi réfléchie par celle ci. Comme le détecteur opère sur la frange noire (peu de lumière arrive sur la détection), une grande majorité de la lumière du laser retourne vers celui ci. Afin qu'elle ne soit pas perdue, un miroir dit de recyclage de puissance est inséré entre le laser et le Michelson. De même, un miroir dit de recyclage de signal est inséré entre la séparatrice et le système de détection afin de changer la réponse optique du détecteur. Cette technique permet d'ajuster la gamme de fréquences où le détecteur est le plus sensible.

Le laser du détecteur est de 200 W, mais seulement 125 W atteignent l'entrée de l'interféromètre au niveau du miroir de recyclage de puissance. Typiquement 5 kW circulent dans partie centrale et jusqu'à 600 kW dans les bras pour le détecteur Virgo en Italie. Pour contrecarrer les effets thermiques dus à ces fortes puissances, les interféromètres ne peuvent fonctionner qu'avec un système de compensation thermique perfectioné, tant au niveau des senseurs que des actuacteurs.

Afin de limiter l'effet de lentille thermique et du bruit thermique Brownien des mirroirs, il est souhaitable d'avoir un faisceau laser le plus étendu possible. De ce fait, la taille du faisceau est de l'ordre de 5 cm de rayon sur les miroirs de l'interféromètre. Donc pour limiter les pertes, les optiques font 350 mm de diamètre de 35 mm d'épaisseur (lame compensatrice) jusqu'à 200 mm pour les miroirs des bras. La séparatrice de part son orientation est la plus grande optique avec 550 mm de diamètre.

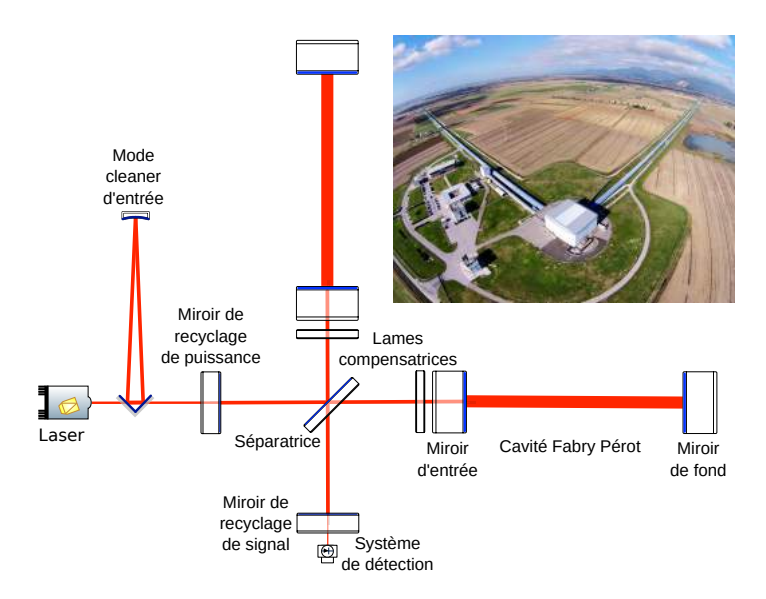


FIGURE 1 : Schéma optique typique d'un détecteur d'ondes gravitationnelles. Dans l'encart, une vue aérienne du détecteur Virgo en Italie avec ses bras perpendiculaires de 3 km de long.

#### 3. LES SPÉCIFICATIONS TECHNIQUES DES OPTIQUES

Dans cette partie, nous allons nous focaliser sur les miroirs d'entrée et de fond des bras, qui sont les optiques les plus critiques et donc celles avec les spécifications les plus contraignantes. Nous prendrons l'exemple des miroirs pour Advanced Virgo [2], sachant que les paramètres pour Advanced LIGO sont très similaires.

Les substrats des miroirs sont faits dans du verre ultra-pur et mesurent 350 mm en diamètre pour 200 mm d'épaisseur. Il fut décider de les tailler dans la dernière génération de verre Suprasil développée par Hereaus (Suprasil 3002) pour les miroirs d'entrée. Ce verre présente une très bonne homogénéité et une absorption en volume exceptionnellement basse de l'ordre de 0.2 ppm/cm à 1064 nm. Pour les miroirs de fond traversés par très peu de lumière, les contraintes sont moins strictes; du Suprasil 312 a été choisi.

Afin de limiter les pertes de lumière par aller retour dans les bras de 3 km (but : moins de 75 ppm de lumière doit être perdue par aller retour), des spécifications très strictes au niveau de la planéité et de la rugosité ont été demandées aux polisseurs. Ici nous résumons, les trois principales spécifications :

- Rayons de courbure de 1420 m et 1683 m (± 10 m) respectivement pour les miroirs d'entrée et de fond. Les 4 pièces pour chaque type de miroir, doivent avoir tous leurs rayons identiques à ± 3 m.
- Planéité inférieure à 0.5 nm RMS dans la partie centrale de 150 mm de diamètre (pour les fréquences spatiales inférieures à 1 mm²).
- Micro-rugosité inférieure à 1 Å RMS.

Les dépôts sur les substrats polis sont faits au LMA à Villeurbanne par la technique de pulvérisation par faisceau d'ions. Là aussi, les specifications sont à la limite de la technologie avec sur la partie centrale :

- Planéité inférieure à 0.5 nm RMS après dépôt.
- Absorption inférieure à 0.5 ppm à 1064 nm.
- Diffusion inférieure à 10 ppm.
- Transmission des miroirs d'entrée  $T = 1.4 \pm 0.1\%$  avec  $\Delta T < 0.01\%$  pour les deux miroirs d'entrée.
- Transmission des miroirs de fond  $T = 4 \pm 1$  ppm.
- Dépôt anti-réfléchissant à 3 bandes (532, 800 et 1064 nm), avec R < 100 ppm à 1064 nm.

#### 4. DES PERFORMANCES OPTIQUES INÉDITES

Malgré des spécifications de surface très contraignantes, le polissage de ces grandes pièces fut un succès. Il a fallu renouveler ce succès aussi pour le traitement de ces pièces.

Pour garantir la similitude des miroirs, deux substrats doivent être mis en même temps dans la machine de dépôt. De plus, pendant la déposition des couches minces les substrats de déplacent dans un mouvement planétaire afin d'atteindre les spécifications de planéité précisées aussi après dépôt. Après plusieurs années de recherche et développement au niveau de la technique de déposition et des matériaux utilisés [3], toutes les spécifications demandées ont pu être atteintes. Ici nous revenons sur quelques faits marquants.

La plus grande difficulté pour les dépôts venait des exigences de planéité. Un exemple de résultat est présenté en figure 2 avec une mesure de la surface du miroir avant et après dépôt avec la même échelle de couleur. Malgré l'ajout de 6  $\mu$ m pour rendre le substrat réfléchissant le RMS est seulement passé de 0.3 nm à 0.4 nm sur la partie centrale de 150 mm de diamètre.

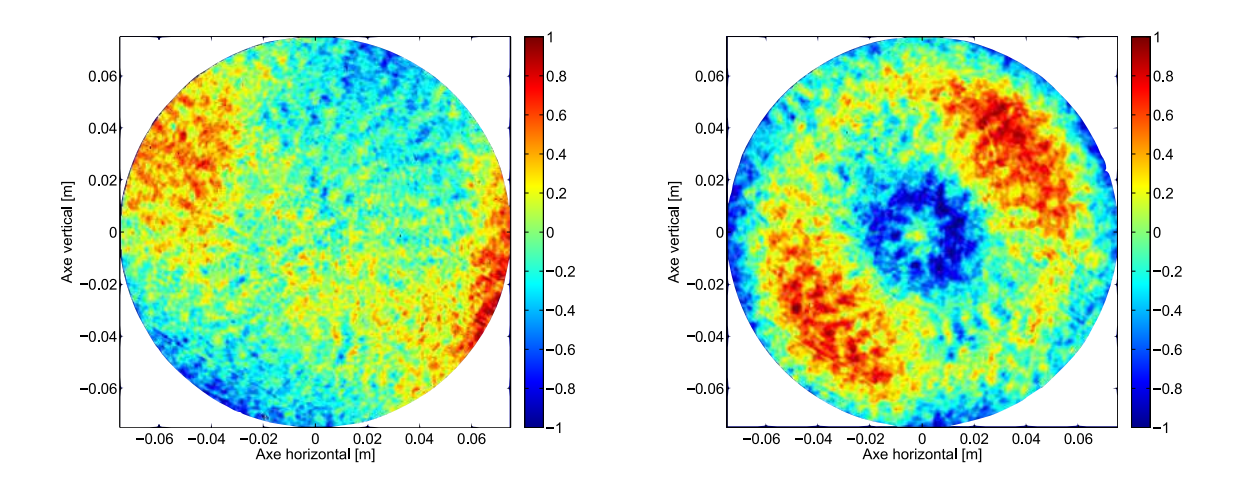


FIGURE 2 : Image de de la planéité d'un miroir de fond avant (gauche) et après dépot (droite). L'échelle de couleur est en nanometre et identique pour les deux images.

Une seconde difficulté importante était la qualité de l'anti-reflet. Un nouveau design d'empilement a été trouvé avec 16 couches et s'est avéré robuste par rapport aux erreurs de déposition. Ce qui a donné pour résultat, une réflection inférieure à  $32 \pm 10$  ppm pour 1064 nm sur la partie centrale.

La similitude en transmission des miroirs d'entrée fut aussi un succès, avec une différence de transmission de 0.002%. La diffusion moyenne des miroirs a été mesurée sur la partie centrale à 4 ppm en moyenne.

#### 5. Perspectives

De par leur tailles et leurs spécifications, les miroirs des détecteurs d'ondes gravitationnelles ont repoussé les limites de la technologie. L'aventure ne s'arrête pas là, puisque déjà une nouvelle génération de détecteurs est prévue avec des optiques plus grandes et plus performantes pour des détecteurs toujours plus sensibles à l'écoute des murmures gravitationnels de l'univers.

- [1] The LIGO and Virgo Collaborations, "Observation of gravitational waves from a binary black hole merger," *Phys. Rev. Lett.*, vol. 116, pp. 061102, 2016.
- [2] Virgo Collaboration, "Advanced Virgo Technical Design Report," Virgo TDS link, 2012.
- [3] L. Pinard *et al.*, "Toward a new generation of low-loss mirrors for the advanced gravitational waves interferometers," *Opt. Lett.*, vol. 36, pp. 1407-1409, 2011.

#### L'EXPLORATION DU TROU NOIR AU CENTRE DE LA GALAXIE AVEC GRAVITY

#### Guy Perrin<sup>1</sup>

<sup>1</sup> LESIA, Observatoire de Paris, PSL Research University, CNRS, Sorbonne Universités, UPMC Univ. Paris 06, Univ. Paris Diderot, Sorbonne Paris Cité

guy.perrin@obspm.fr

#### RÉSUMÉ

Le centre de notre galaxie abrite un objet de 4 millions de fois la masse du Soleil, Sagittarius A\*, probablement un trou noir super-massif. L'interféromètre GRAVITY du VLTI a pour ambition de tester l'hypothèse du trou noir, d'en étudier la nature et d'explorer la grarvitation en champ fort. Lancé en 2005, le projet a connu sa première lumière à la fin de 2015. Des premiers résultats sur Sagittarius A\* et son environnement sont attendus en 2017.

MOTS-CLEFS: Trou noir; centre galactique; interférométrie; infrarouge

#### 1. LE CŒUR DE LA VOIE LACTÉE

La Voie Lactée abrite en son centre une source radio intense et compacte, la plus intense dans cette région du ciel, Sagittarius A\* ou Sgr A\* [1]. Le centre galactique est constellé de sources ponctuelles dont la grande majorité sont des étoiles. Les étoiles les plus au centre, l'amas des étoiles S, jouent un rôle particulier dans la détermination de la nature de Sgr A\*.

#### 2. LA NATURE DE SAGITTARIUS A\*

L'étude de leur mouvement est devenue possible grâce à la montée en puissance des techniques de haute résolution angulaire dans l'infrarouge, avec l'interférométrie des tavelures d'abord, puis avec l'optique adaptative ensuite. Les étoiles ont ainsi été suivies individuellement depuis les années 90 et leurs orbites ont pu être reconstruites. L'application de la troisième loi de Kepler fournit une estimation de la masse de l'objet central : environ 4 millions de masses solaires [2,3,4]. La Figure 1 montre les orbites reconstruites des étoiles les plus proches aujourd'hui connues ainsi que les mesures des positions de l'étoile S2. Une masse importante contenue dans un volume restreint pointe vers l'hypothèse que Sgr A\* serait un trou noir super-massif.

#### 3. LES SURSAUTS DU CENTRE GALACTIQUE

Le flux provenant de Sgr A\* connaît des fluctuations dont certaines peuvent être aussi soudaines que violentes causant une augmentation de luminosité de quelques à plusieurs dizaines d'unités dans l'infrarouge proche et dans le domaine des rayons X [5]. Une hypothèse est qu'il s'agit de gaz chauffé sur la dernière orbite circulaire stable autour du trou noir, de diamètre égal ou triple de celui du trou noir, dépendant de son taux de rotation, c'est-à-dire mille fois plus près que la plus proche des étoiles S connues, S2. Si c'est le cas, ces sursauts sont un outil fantastique pour l'exploration du trou noir. Ils pourraient ainsi apporter la première preuve que seul un trou noir peut expliquer l'extraordinaire densité de masse car circonscrite à son horizon. Les sursauts sont potentiellement d'excellentes particules-test près de l'horizon pour l'étude de la gravitation en champ fort. Leur trajectoire pourrait permettre l'exploration de l'espace-temps de façon directe autour du trou noir et une étude *in situ* des effets de relativité générale en champ fort [6].

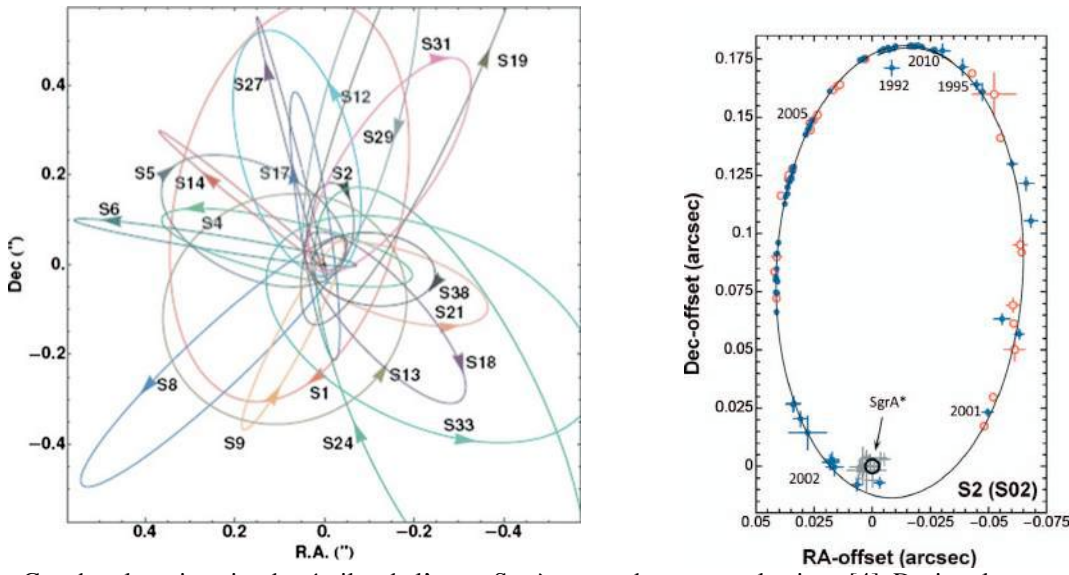


Fig. 1 : Gauche : la trajectoire des étoiles de l'amas S près atour du centre galactique [4]. Droite : les mesures obtenues sur l'étoile S2 et les mesures de position de Sgr A\* [2].

#### 4. LE CENTRE GALACTIQUE COMME LABORATOIRE DE LA GRAVITATION EN CHAMP FORT

Aucune mesure de la structure de l'espace-temps près d'un trou noir n'a pu être faite pour confronter la théorie de la relativité générale au cas le plus extrême. Les trous noirs sont des objets très compacts et ont de petites dimensions angulaires (des trous noirs stellaires comme Cygnus X-1 sont très proches mais de petite masse, des trous noirs au centre des galaxies sont super-massifs mais très distants). Sgr A\* est celui dont la dimension angulaire est la plus importante et ne mesure que  $53 \mu$ as ( $26x10^{-11}$  rad). Il est donc *a priori* notre meilleure chance de tester la théorie de la relativité générale de façon directe en champ fort. C'est l'un des objectifs majeurs de l'instrument GRAVITY.

#### 5. L'INSTRUMENT GRAVITY SUR LE VLTI

GRAVITY est un ambitieux projet d'interféromètre [7]. Il utilise les quatre télescopes de 8,20 m (Unit Telescopes) du Very Large Telescope en mode interférométrique, c'est-à-dire qu'il fait interférer simultanément les quatre faisceaux qui en sont issus pour obtenir l'équivalent d'un télescope d'environ 140 m de diamètre du point de vue de la résolution angulaire atteinte, 4 mas dans l'infrarouge proche à 2,2  $\mu$ m. Il a en outre la capacité de recombiner les 4 télescopes de 1,80 m (Auxiliary Telescopes) pour l'observation des sources les plus brillantes (Figure 2). GRAVITY est construit, sous la responsabilité du Max Planck Institut für Extraterrestische physik de Munich, par un consortium européen comprenant des instituts allemands, portugais et français (Observatoire de Paris/LESIA, IPAG). Le projet a été lancé en 2005. GRAVITY a obtenu sa première lumière fin 2015 et est entré dans une période de tests intensifs pour environ un an.

Deux types de mesures seront faites avec GRAVITY. Grâce à l'utilisation simultanée des 4 grands télescopes, des images précises de l'environnement de Sgr A\* seront régulièrement obtenues avec une résolution 16 fois meilleure qu'avec les plus grands télescopes actuels. Il sera ainsi possible de résoudre l'émission présente autour de Sagittarius A\*. Quelques étoiles à découvrir sont potentiellement en orbite autour du trou noir à quelques unités astronomiques ou à une fraction d'unité astronomique de distance. À une si faible distance, leurs orbites sont fortement perturbées et l'écart à des orbites newtoniennes classiques permettra de mettre en évidence des effets relativistes et de mesurer une caractéristique importante du trou noir, son taux de rotation [8].

Le mode imagerie ne permettra cependant pas d'accéder à l'horizon du trou noir, ce qui nécessite une résolution 100 fois plus élévée. GRAVITY offrira une capacité toute nouvelle, un mode astrométrique avec une précision de  $10~\mu$ as, soit le rayon physique de l'horizon de Sgr A\*. Il permettra de détecter tout mouvement autour du trou noir avec une précision égale à sa dimension. Il sera utilisé pendant les sursauts pour mesurer la trajectoire de la zone émettrice.

GRAVITY est l'interféromètre infrarouge le plus complexe jamais construit. Deux champs distants d'au plus 6' sont observables simultanément. L'un sert de référence de phase et permet de corriger les turbulences à l'échelle de l'interféromètre pour stabiliser les franges et d'atteindre des temps de pose de plusieurs minutes dans l'autre champ. La référence de phase est utilisée à la fois pour l'imagerie et pour l'astrométrie différentielle. Une métrologie précise à quelques nanomètres près permet de mesurer l'écart des paquets de franges dans les deux voies pour atteindre la précision astrométrique de plusieurs dizaines de micro-secondes d'angles. Enfin, les turbulences atmosphériques sont corrigées à l'échelle de chacune des pupilles de 8,20 m par optique adaptative pour maximiser la sensibilité et la précision de l'instrument.



Fig. 2 : le site du Very Large Telescope de l'ESO au mont Paranal au Chili. Deux des 4 AT déplaçables sur des rails sont visibles en plus des 4 UT.

#### **CONCLUSION**

Les premiers résultats techniques obtenus par GRAVITY depuis sa première lumière à l'automne 2015 sont très encourageants. L'exploitation scientifique de l'instrument démarrera dès juin 2016 par un programme de *science verification*, l'instrument étant ouvert à la communauté astronomique à partir d'octobre 2016.

- [1] B. Balick & R.L. Brown, 1974, ApJ 194, 265
- [2] R. Schödel et al., 2002, Nature 419, 694
- [3] F. Eisenhauer et al., 2005, *ApJ* 628, 246
- [4] S. Gillessen et al. 2009, *ApJ* 692, 1075
- [5] R. Genzel et al., 2003, Nature 425, 934
- [6] F.H. Vincent et al., 2014, MNRAS 441, 3477
- [7] F. Eisenhauer et al. 2011, Messenger 143, 16
- [8] T. Paumard et al. 2005, Astronomische Nachrichten 326, 568

#### ARRÊTER LA LUMIÈRE DANS UNE FIBRE: LA RENCONTRE DES ATOMES FROIDS ET DE LA NANOPHOTONIQUE

#### Julien Laurat

Laboratoire Kastler Brossel, UPMC-Sorbonne Universités, CNRS, ENS-PSL Research University, Collège de France, 4 Place Jussieu, 75005 Paris, France

julien.laurat@upmc.fr

#### RÉSUMÉ

La combinaison des atomes froids et de la nanophotonique permet de réaliser de nouvelles interfaces lumière-matière pour l'information quantique.

Mots-clefs: information quantique; mémoire; atomes froids; nanophotonique.

Les interfaces lumière-matière constituent des outils importants pour l'optique quantique et les réseaux quantiques de communication [1]. Dans ce contexte, mon équipe de recherche au Laboratoire Kastler Brossel s'intéresse au développement de telles interfaces reposant sur des ensembles d'atomes froids. Un exemple d'application est la réalisation de mémoires quantiques permettant à la lumière et à la matière d'échanger leurs états à la demande. En espace libre, nous avons ainsi créé une mémoire permettant le stockage de bits quantiques encodés dans le moment orbital angulaire de la lumière, c'est-à-dire dans l'hélicité du front d'onde [2]. En faisant fonctionner deux mémoires quantiques en parallèle, nous avons ensuite stocké des bits encodés par la structuration de la lumière dans le plan transverse, non seulement en phase mais aussi en polarisation, réalisant ainsi une mémoire quantique pour plusieurs degrés de liberté simultanément [3]. Dans cet exposé, je présenterai une nouvelle interface reposant sur une nanofibre optique au diamètre sub-longueur d'onde et couplée à un ensemble d'atomes froids piégés à proximité.

Combiner atomes froids et nanophotonique apparaît comme une alternative prometteuse pour réaliser de nouvelles interfaces lumière-matière. Le fort confinement de la lumière permet non seulement une interaction sur une distance qui n'est plus limitée par la diffraction, mais également une interaction atome-photon exaltée et la possibilité d'interaction non-linéaire à des puissances optiques très faibles.

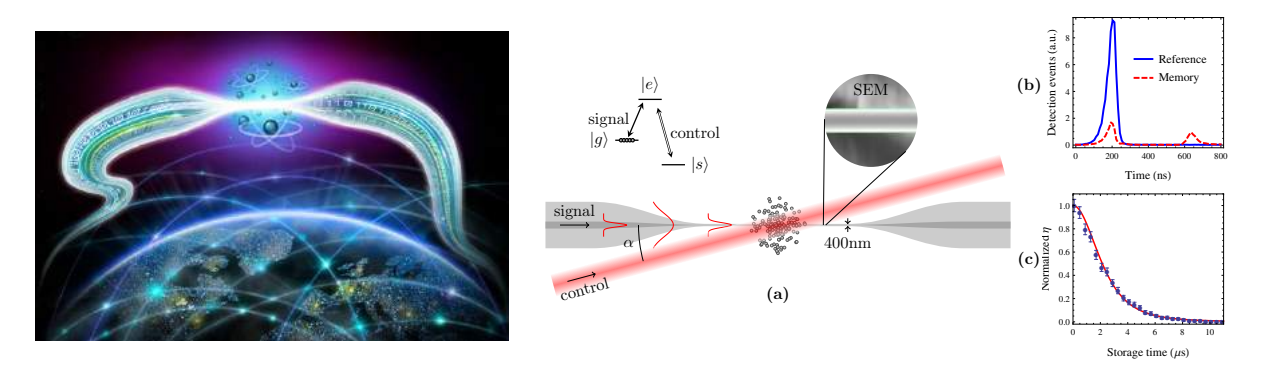


FIGURE 1 : **Arrêter la lumière dans une fibre optique.** Des atomes froids sont piégés au voisinage d'une fibre optique qui a été étirée dans une région de quelques centimètres. En arrivant dans cette zone, la lumière guidée est ralentie et l'information qu'elle porte est transférée aux atomes. Plus tard, à la demande, la lumière est réémise dans la fibre et peut se propager à nouveau. (a) Une fibre de 400 nm de diamètre est superposée à un large ensemble d'atomes froids. Un champ dit de contrôle permet de modifier la propagation de la lumière guidée. (b) Stockage et relecture. (c) Temps de vie de la mémoire.

Par exemple, un guide d'onde avec une dimension plus petite que la longueur d'onde fournit un large champ évanescent qui peut être utilisé pour interagir avec des atomes à proximité ou pour les piéger à l'aide d'un piège dipolaire. La surface effective du mode étant proche de la section efficace d'absorption, un atome unique peut absorber une fraction non négligeable de la lumière guidée et fournir ainsi un fort couplage lumière-matière en un seul passage.

En utilisant une telle approche, nous avons réussi à intégrer une mémoire quantique directement dans une fibre optique (figure 1) [4]. Pour cela, une fibre optique commerciale similaire à celles utilisées dans les réseaux de télécommunication a été chauffée et étirée jusqu'à moins de 400 nanomètres de diamètre et ce, sur quelques centimètres. Nous avons ensuite refroidi des atomes de césium disposés proches de cette zone étirée. Lorsque la lumière atteint cette région, une grande partie de l'énergie circule autour de la fibre et elle peut alors interagir avec les atomes environnants. En utilisant la technique dite de transparence induite électromagnétiquement qui permet de contrôler les propriétés du milieu atomique par un laser additionnel, la lumière a été ralentie par un facteur 3 000 puis totalement arrêtée. Cette impulsion lumineuse a été stoppée pendant plusieurs microsecondes puis émise de nouveau dans la fibre. Sans cet arrêt imposé, la lumière aurait parcouru dans le même temps plusieurs kilomètres! L'information portée par la lumière est transférée aux atomes sous la forme d'une excitation collective, une large superposition quantique. En raison du fort confinement de la lumière, quelques milliers d'atomes suffisent pour obtenir de fort ralentissement, alors que des millions étaient nécessaires dans les expériences en espace libre. Nous avons également montré que des impulsions lumineuses contenant un seul photon pouvaient être stockées et réémises avec un large rapport signal sur bruit. Au delà des mémoires quantiques, ce système peut aussi être utilisé comme source de photons uniques intrinsèquement fibrés.

Je montrerai également comment le piégeage d'atomes froids autour de la nanofibre permet de réaliser un miroir de Bragg efficace [5]. En réalisant un réseau optique dans le champ évanescent, avec une distance entre les atomes proches de la longueur d'onde de la transition atomique, nous avons pu démontrer des réflectivités supérieures à 75% avec seulement quelques milliers d'atomes (figure 2). La possibilité de contrôler le transport de photon unique dans ce type de système est à la base de nombreuses propositions dans ce domaine émergent dit de l'électrodynamique quantique en guide d'onde (waveguide quantum electrodynamics).

Je terminerai cet exposé en discutant les perspectives du domaine, en particulier l'apport possible des cristaux photoniques à cette nouvelle direction de recherche.

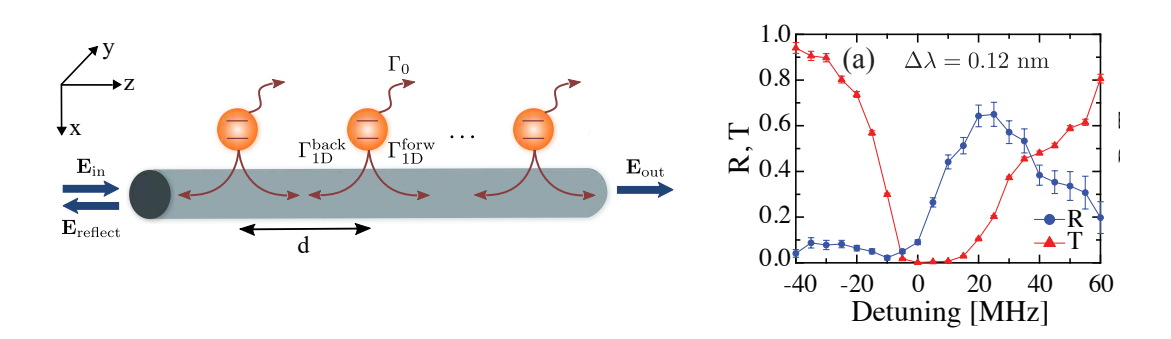


FIGURE 2 : **Miroir de Bragg atomique.** Les atomes piégés à proximité de la nanofibre peuvent émettre en espace libre ou dans le mode guidé. Chaque atome se comporte alors comme un miroir avec une faible réfléctivité pour la lumière se propageant dans la nanofibre. Lorsque la distance entre les atomes est très proche de la longueur d'onde de la transition atomique, l'interférence entre ces réflexions peut conduire à une forte réflexion de Bragg. Dans notre cas, 2000 atomes seulement permettent d'obtenir une réflexion *R* proche de 75%. Le tracé donne les spectres de réflexion et de transmission en fonction du désaccord à la résonance du champ sonde.

- [1] J. Laurat et T. Chanelière, "La mémoire, pilier du réseau quantique," in *La Recherche*, Les Révolutions quantiques, juillet 2015.
- [2] A. Nicolas et al., "A quantum memory for orbital angular momentum photonic qubits," *Nature Photon.* 8, 234 (2014).
- [3] V. Parigi et al., "Storage and retrieval of vector beams of light in a multiple-degree-of-freedom quantum memory," *Nature Commun.* 6, 7706 (2015).
- [4] B. Gouraud, D. Maxein, A. Nicolas, O. Morin, J. Laurat "Demonstration of a memory for tightly guided light in an optical nanofiber," *Phys. Rev. Lett* 115, 023602 (2015).
- [5] N.V. Corzo, B. Gouraud, A. Chandra, A. Goban, A.S. Sheremet, D.V. Kupriyanov, J. Laurat "Large Bragg reflection from one-dimensional chains of trapped atoms near a nanoscale waveguide," arXiv:1604.03129.

#### ART ET ASTRONOMIE

#### Yaël Nazé<sup>1</sup>

<sup>1</sup> Groupe d'Astrophysique des Hautes Energies, Dept A.G.O. Université de Liège, B4000 Liège, Belgique

#### naze@astro.ulg.ac.be

#### RÉSUMÉ

Cette conférence plénière abordera les multiples facettes entre Art et Astronomie, entre inspiration, outil, réflexion, ou encore hommage.

#### **PRÉSENTATION**

Imaginez une soirée d'été, au moment où l'étouffante chaleur laisse enfin la place à une température parfaite ; allongé, vous vous laissez prendre par le spectacle des étoiles filantes... Imaginez un matin d'hiver, sur le pas de votre porte ; bien emmitouflé, vous ne pouvez résister et jetez un œil à ce ciel noir paré d'étoiles innombrables, dont la lueur cristalline marque déjà votre journée d'un sceau apaisant... Le ciel ne laisse pas indifférent : il peut provoquer une angoisse indicible, un bien-être mâtiné de rêverie, mais aussi une inspiration unique ou une curiosité inépuisable. Selon les époques et les caractères, cela conduit parfois à une vocation d'astronome... ou d'artiste!

En effet, on ne compte plus les œuvres dévoilant un bout de ciel... Bien sûr, celui-ci peut « juste » servir de décor d'arrière-plan, sans grand intérêt. Toutefois, il peut aussi imprégner les toiles d'une ambiance particulière, en ravivant les sentiments – tant positifs que négatifs – qui lui sont associés. La nuit, puisque qu'il faut la nommer, fait peur et sert de paravent à d'innombrables activés répréhensibles mais elle cache aussi le premier baiser des amoureux, apporte le repos, et est la complice de nos rêves. Parmi ces œuvres jouant sur l'ambiance, on peut citer en Orient la classique série des « 100 aspects de la Lune », et en Occident les toiles bleues de Chagall.

D'autres artistes décident de tirer le portrait, réaliste, de nos compagnons célestes –Soleil (Munch), Lune (Jin Nong), une étoile esseulée (Childe Hassam, Church), voire des nuits étoilées (Millet, Van Gogh ainsi que, plus récemment, l'hyperréaliste Celmins). Dans certains cas, ce ciel réaliste peut même offrir un éclairage inédit sur l'artiste, l'astronomie devenant alors un outil supplémentaire de l'archéométrie. Ainsi, les détails de la Nuit étoilée de Munch permettent d'affirmer où était le peintre à l'été 1893, la configuration céleste de Route avec Cyprès et ciel étoilé de van Gogh est identifiée comme la conjonction Lune-Vénus-Mercure du 19 avril 1890 tandis que la Comète de 1858 vue des abords de Dartmoor de Palmer montre la conjonction comète-Arcturus du 5 octobre 1858!

À l'opposé, certains préfèrent l'allégorie pure. Il faut dire que les astres étaient des dieux importants, partout dans le monde : les portraits divins (Râ, Hélios, Hamateratsu, Bouddha Tejaprabha) sont donc aussi des portraits célestes ! Mais ce courant personnifiant ne s'est pas arrêté à l'Antiquité ni ne s'est circonscrit au divin. On le retrouve au Moyen-Âge sous les traits plus profanes d'Astronomia, l'allégorie de l'un des enseignements du quadrivium, remplacée ensuite par Uranie, la muse céleste, au retour du classicisme. La tradition s'étend ensuite à la Lune, le Soleil, la Nuit, et même des étoiles (parfois filantes)... Parmi ce courant, particulièrement vivace au 19e siècle, se trouvent plusieurs œuvres célèbres, comme le Phaéton de Moreau, le « cycle de la Lune et des étoiles » de Mucha, ou Night with her train of stars de Hughes.

Il existe aussi la possibilité de viser la perfection céleste – sphère, cercle, ellipse restent en effet les bases de l'astronomie... Ce sont évidemment les peintres abstraits (comme Kandinsky, Kupka, Delaunay) qui ont le mieux joué avec ces formes pures dans des œuvres colorées, d'une pureté céleste évidente. Cela ne se restreint pas au sphérique : l'œil cubiste de Léger n'a pu résister à la beauté des isocontours cométaires... Dans ce cadre, si on pousse la chose à son paroxysme, on peut parfois se retrouver avec de « simples » archétypes : disque solaire, croissant lunaire, étoile à cinq branches, etc. Ces symboles

courants se retrouvent dans les œuvres d'artisans de par le monde, mais aussi sous les doigts d'artistes reconnus (comme Zorio et ses minimalistes Stelle).

Et puis, on peut aussi réfléchir à des concepts célestes, voire s'amuser un peu avec. Dans ce cadre, on retrouve de nombreux travaux sur les Constellations : Arp met en valeur leur côté de regroupement aléatoire, Radisic leur côté sensuel (souvenez-vous des histoires associées, emplies de demoiselles en détresse!), Miro leur côté foisonnant, Vasarely leur composante répétitive. Autre possibilité: le mouvement, associé au ciel par essence même car le Soleil et les étoiles se lèvent tous les jours - les humains, tout auréolés de leur sentiment de supériorité, ne peuvent en dire autant! Depuis le 20e siècle, le caractère mouvant du cosmos s'est d'ailleurs encore plus affirmé : migration de planètes, évasion stellaire, collisions de galaxies, expansion de l'Univers... Mais comment représenter ce mouvement ? Les réponses varient : Vasarely tente des effets d'optiques (Supernova, série Véga), Calder propose des sphères armillaires en mouvement, Balla et Pollock entremêlent les trajectoires. Enfin, il faut aussi représenter l'espace... De nombreuses expériences seront tentées : certains jouent avec la pesanteur, comme Takis et ses aimants ou Klein et son célèbre saut, d'autres avec la 3e dimension d'une toile qui n'en possède pourtant que deux (Fontana et ses bucchi), d'aucuns tentent même de représenter l'infini (Malevitch et ses carrés blancs ou noirs) ou notre lien direct avec le ciel (de nombreuses toiles de Remedios Varo).

Il est également possible de représenter, sinon le ciel, ceux qui l'étudient! Les œuvres s'insèrent ici dans deux courants principaux. Tout d'abord, la représentation d'un astronome connu, paré de ce qui fait sa renommée (lunette pour Galilée<sup>i</sup>). La ressemblance avec le modèle peut s'avérer assez lointaine, surtout si l'œuvre est produite bien après la mort du savant, comme pour l'Ecole d'Athènes de Raphaël. Ensuite, il existe aussi des portraits d'astronomes « génériques » - homme seul, rêveur et mélancolique, entouré des instruments de son art. Le cas le plus célèbre est celui de l'Astronome de Vermeer, mais il en existe bien d'autre, souvent de la même époque quoiqu'il existe quelques œuvres récentes (dont des toiles ironiques de Delvaux). Une œuvre défie cependant toute classification dans ce cadre : le livre Maximiliana ou l'exercice illégal de l'astronomie, par Max Ernst. En s'identifiant à l'astronome (son parcours, ses problèmes, ses conflits), Ernst propose une véritable démonstration du processus scientifique dans ce livre surréaliste.

Il ne faudrait pas oublier l'aide apportée aux astronomes. Si l'astronomie actuelle regorge d'images, les livres astronomiques proposaient au mieux quelques schémas (éclipses, modèle géocentrique, constellations peu réalistes) jusqu'au 17e siècle. C'est alors que Galilée utilisa l'image dans son Sidereus Nuncius pour convaincre, et le procédé fut largement adopté en quelques décennies seulement, avec au final une volonté de réalisme très forte. On voit alors surgir des dessins précis de nébuleuses pour voir si elles varient ou de constellations pour repérer les choses convenablement. Hélas, tous les astronomes n'étaient pas doués pour le dessin : les observatoires engagèrent donc des artistes, pour les aider. Rassurez-vous, ils ne se retrouvèrent pas au chômage au moment de l'invention de la photographie, ils adaptèrent simplement le métier! Ils produisirent désormais des vues d'artistes, qui sont aujourd'hui innombrables : elles illustrent les dernières découvertes, quand l'image n'existe pas – ainsi, les superbes vues exoplanétaires n'ont pas été enregistrées par un instrument, mais proviennent du pinceau et du cerveau des artistes astronomiques! Signalons au passage que les artistes n'ont pas été que de simples « aides » : avant même la révolution scientifique du 17e siècle, et durant celles-ci, ils participèrent à renverser les vues aristotéliciennes. Van Eyck présente ainsi dans sa Crucifixion une Lune imparfaite, avec des taches et un terminateur rugueux; da Vinci, Pacheco et Cigoli discutent, par toiles interposées, de la lumière cendrée et de la transparence de la Lune.

Pour terminer, signalons qu'il existe des œuvres... dans l'espace! Embarquées sur des satellites, déposées sur la Lune ou Mars, elles constituent les avant-postes de notre conquête spatiale, une trace indubitablement humaine...

- Nazé Y., 'Art et Astronomie Impressions célestes', Omnisciences, Octobre 2015
- Nazé Y., Tribute to an astronomer: the work of Max Ernst on Wilhelm Tempel', Journal for the History of Astronomy, in press, preliminary version available as arxiv:1512.05540

<sup>&</sup>lt;sup>1</sup> Même si Galilée n'a ni inventé la lunette, ni été le premier à la tourner vers le ciel.

## GENERER ET MANIPULER DES PHOTONS UNIQUES AVEC DES ATOMES ARTIFICIELS

#### **Pascale Senellart**

LPN-CNRS, Laboratoire de Photonique et de Nanostructures, Route de Nozay, 91460 Marcoussis, France

pascale.senellart@lpn.cnrs.fr

#### RÉSUMÉ

Les boîtes quantiques semi-conductrices sont des pièges de taille nanométrique pour les électrons. Ce sont de véritables atomes artificiels qui ouvrent la voie à la fabrication de composants efficaces pour les technologies quantiques dans les matériaux de l'optoélectronique. Toutefois, la recherche s'est longtemps heurtée à la variabilité de ces nano-objets : constituée d'un faible nombre d'atomes, chaque boîte quantique est différente de sa voisine et présente une position aléatoire.

Notre équipe a inventée une technologie qui permet de s'affranchir de ces problèmes de variabilité: nous positionnons avec une précision nanométrique une boîte quantique dans une cavité optique. Nous réalisons des expériences d'électrodynamique quantique en cavité et contrôlons à volonté l'émission spontanée d'une boîte quantique. Nous utilisons cette possibilité pour développer des composants très efficaces pour le traitement de l'information quantique. Nous fabriquons des sources de photons uniques indiscernables d'une brillance dix fois supérieure aux sources usuelles. Ces sources permettent d'ores et déjà de réaliser des expériences de Boson Sampling cent fois plus rapidement. Nous démontrons également des non-linéarités optiques à l'échelle du photon unique, qui permettront de réaliser des portes logiques quantiques déterministes, un autre verrou pour le développement des technologies quantiques optiques à grande échelle.

## DYNAMIQUES ULTRARAPIDES PARADOXALES DANS LES LASERS À FIBRE OPTIQUE

#### Ph. Grelul<sup>1</sup>

<sup>1</sup> Laboratoire Interdisciplinaire Carnot de Bourgogne, UMR 6303 CNRS, Université Bourgogne Franche-Comté, BP 47870, F-21078 Dijon

philippe.grelu@u-bourgogne.fr

#### RÉSUMÉ

Au cours de cette présentation, nous mettons en lumière la richesse des comportements dynamiques ultrarapides accessibles au sein de cavités laser à fibre optique, dont certains constituent des paradoxes par rapport à une compréhension conventionnelle du blocage de modes, et présentons un cadre élargi permettant d'appréhender ces phénomènes.

MOTS-CLEFS: soliton dissipatif; laser à fibre; dynamique ultrarapide; ondes scélérates

#### 1. Introduction

A l'instar d'un amplificateur optique à semi-conducteur, un amplificateur à fibre dopée aux terres rares préfigure un gain optique généralement important, apportant flexibilité au design de l'architecture de la cavité laser. L'analogie trouve cependant ses limites, compte tenu des ordres de grandeur qui séparent les dimensions et les temps caractéristiques des deux catégories de milieux laser. Cette différence, exacerbée en régime d'impulsions courtes ou ultracourtes, est également illustrée par la variété des approches fréquemment pratiquées en modélisation. Les descriptions modales ont la préférence pour traiter cavités courtes et micro-résonateurs, tandis que les cavités longues – lorsque le temps de parcours est grandement supérieur à la durée de l'impulsion générée - recourrent presque exclusivement à une approche temporelle propagative qui fait généralement disparaître la notion de mode de cavité [1]. Pour obtenir ces régimes ultrarapides de manière passive, on peut mettre en oeuvre plusieurs techniques de blocage, ou verrouillage, de modes particulièrement efficaces. Les impulsions optiques, qui, en circulant incessamment dans la cavité, parcourent l'équivalent de milliards de kilomètres sans que leur profil en soit significativement affecté, entrent ainsi à juste titre dans la catégorie des ondes solitaires optiques. Leur stabilité résulte d'un équilibre entre gain et pertes, doublé d'une compensation entre effets dispersifs et non-linéaires. L'existence de cet équilibre complexe est inhérent à la définition du soliton dissipatif, qui forme un récent cadre conceptuel permettant d'appréhender la dynamique d'impulsions subissant des échanges d'énergie significatifs avec leur environnement [2].

Après deux décennies, le développement de lasers à fibre à impulsions courtes est toujours en plein essor, avec des enjeux applicatifs importants notamment pour l'industrie, le domaine médical, et la métrologie [3, 4]. De nouvelles architectures laser à fibre ont été proposées afin d'améliorer les performances, et en général la compacité de ces dispositifs, produisant des impulsions plus énergétiques, ou bien plus courtes, dans de nouvelles gammes spectrales, à plus haute cadence, etc. Avec certains designs de cavité laser, des régimes de propagation initialement contre-intuitifs sont apparus, comme par exemple au sein de cavités fonctionnant en régime de dispersion chromatique fortement normale [5], à l'encontre du sens commun pour lequel les solitons optiques brillants nécessitent une dispersion anormale. De tels régimes de propagation sont simplement interprétés au moyen du concept de soliton dissipatif. La proche parenté existant entre soliton dissipatif et dynamique non-linéaire permet aussi d'appréhender ce qui se produit aux frontières du blocage de modes conventionnel, lorsque de nombreuses bifurcations du système dynamique peuvent se manifester tandis que les paramètres de la cavité sont modifiés [2].

#### 2. DES LIQUIDES DE SOLITONS AUX ONDES SCÉLÉRATES

La formation d'impulsions multiples en cavité laser suit un type de bifurcation étudié de longue date, qui peut cependant employer plusieurs mécanismes [6]. Les régimes multi-impulsionnels sont, parfois recherchés, par exemple pour obtenir un fonctionnement harmonique démultipliant le taux de répétition relativement faible des cavités laser à fibre [7, 8], mais souvent considérés indésirables, puisqu'ils impliquent une limitation de la puissance crête pour l'application visée et compliquent la modélisation. Du point de vue fondamental, l'auto-organisation des régimes multi-impulsionnels a été très étudiée durant ces dernières années, avec la possibilté de former des états analogues à ceux de la matière : molécules, cristaux, et liquides de solitons [9, 10]. Au delà des structures stationnaires dans le référentiel propre, des structures mouvantes et chaotiques peuvent ainsi se propager tout en restant globalement confinées à l'échelle sub-nanoseconde, représentant un paradoxe par rapport aux concepts de blocage de modes et de soliton. On peut ainsi produire des impulsions courtes ou ultracourtes complexes en cavité laser, toujours au moyen du mécanisme d'absorption saturable, mais qui ne correspondent plus précisément à des régimes "modes bloqués". L'exposé developpera plus particulièrement ces solitons dissipatifs chaotiques, illustrant également la mise en évidence d'ondes scélérates optiques en cavité laser ultrarapide [11, 12, 13], et tentera d'unifier certaines descriptions et dénominations de dynamiques établies séparément.

- [1] Ph. Grelu (Ed.), Nonlinear optical cavity dynamics, Wiley-VCH, 2016.
- [2] Ph. Grelu and N. Akhmediev, "Dissipative solitons for mode locked lasers", *Nat. Photonics*, vol. 6, 84-92, 2012.
- [3] D. J. Richardson, J. Nilsson, and W. A. Clarkson, "High power fiber lasers: current status and future perspectives," *J. Opt. Soc. Am. B*, vol. 27, no. 11, B63 (2010).
- [4] J.M. Delavaux, Ph. Grelu, W. Pu, and F.O. Ilday (Eds.), "Special issue on short pulse fiber lasers," *Opt. Fib. Technol.*, vol. 20, 561, 2014.
- [5] A. Chong, W.H. Renninger, and F.W. Wise "All-normal dispersion femtosecond fiber laser with pulse energy above 20 nJ", *Opt. Lett.*, vol. 32, 2408-2410, 2007.
- [6] Voir en particulier les chapitres 4,9 et 10 de la Ref. [1].
- [7] A.B. Grudinin and S. Gray, "Passive harmonic mode locking in soliton fiber lasers", *J. Opt. Soc. Am. B*, vol. 14, no. 1, 144-154, 1997.
- [8] C. Lecaplain and Ph. Grelu, "Multi-gigahertz repetition-rate-selectable passive harmonic mode locking of a fiber laser", *Opt. Express*, vol. 21, 10897, 2013.
- [9] S. Chouli and Ph. Grelu, "Soliton rain in a fiber laser, an experimental study", *Phys. Rev. A*, vol. 81, 063829, 2010.
- [10] F. Sanchez et al. "Manipulating dissipative soliton ensembles in passively mode-locked fiber lasers", *Opt. Fib. Technol.*, vol. 20, 562-574, 2014.
- [11] C. Lecaplain, Ph. Grelu, J. M. Soto-Crespo, and N. Akhmediev, "Dissipative rogue waves generated by a mode locked fiber laser", *Phys. Rev. Lett.*, Vol. 108, 233901, 2012.
- [12] C. Lecaplain and Ph. Grelu, "Rogue waves among noise-like-pulse laser emission: An experimental investigation," *Phys. Rev. A*, Vol. 90, 013805 (2014).
- [13] A. Runge, C. Aguergaray, N. G. R. Broderick and M. Erkintalo, "Raman rogue waves in a partially mode-locked fiber laser", *Opt. Lett.*, vol. 39, 319 (2014).

## GÉNÉRATION D'HARMONIQUES, MOLÉCULES CHIRALES ET DYNAMIQUES ULTRARAPIDES

Samuel Beaulieu<sup>1,4</sup>, Antoine Comby<sup>1</sup>, Romain Géneaux<sup>3</sup>, Valérie Blanchet<sup>1</sup>, Dominique Descamps<sup>1</sup>, Amélie Ferré<sup>1</sup>, Gustavo A. Garcia<sup>2</sup>, Yann Mairesse<sup>1</sup>, Éric Mével<sup>1</sup>, Laurent Nahon<sup>2</sup>, Stéphane Petit<sup>1</sup>, Bernard Pons<sup>1</sup>, Thierry Ruchon<sup>3</sup>, Baptiste Fabre<sup>1</sup>,

Université de Bordeaux - CNRS - CEA, CELIA, UMR5107, F33405 Talence Cedex, France
 Synchrotron SOLEIL, l'Orme des Merisiers, Saint Aubin BP48, F91192, Gif-sur-Yvette, France
 CEA, IRAMIS, LIDyL, CEA-Saclay, F91191, Gif-sur-Yvette, France
 INRS, Centre ÉMT, Varennes, Québec, Canada

baptiste.fabre@u-bordeaux.fr

#### RÉSUMÉ

L'un des objectifs de notre équipe est d'initier puis de suivre des dynamiques ultrapides (femtosecondes et attosecondes) au sein de molécules chirales en phase gaseuse en utilisant le dichroïsme circulaire de photoélectrons. Nous nous intéresserons pour cela à la mesure de cette observable dans différents régimes d'ionisation afin de mettre en évidence l'intérêt et l'universalité du phénomène.

**MOTS-CLEFS :** Génération d'harmoniques d'ordre élevé; chiralité; dichroïsme de photoélectrons

#### 1. Introduction

Depuis sa découverte en 1848 par Pasteur, de nombreuses études se sont intéressées à la chiralité du fait de son intérêt fondamental en physique, biologie, chimie et pharmacologie. En étudiant des sels d'acide tartrique, Pasteur émet l'hypothèse suivante : "certaines molécules peuvent exister sous deux formes, images l'un de l'autre dans un miroir, mais non superposables". Ces deux configurations, de même composition et partageant des propriétés physiques et chimiques identiques, sont appelées énantiomères et généralement notés R (rectus : droit) ou S (sinister : gauche). Ils ne peuvent donc être distingués à moins qu'ils n'intéragissent avec un autre système chiral, tel qu'une molécule ou de la lumière polarisée circulairement. Ainsi, la plupart des réactions biologiques sont basées sur le fait qu'une molécule chirale va être ou non reconnue par la molécule du récepteur en fonction de sa configuration. Cette reconnaissance chirale contrôle la manière avec laquelle nous percevons les odeurs ou le goût ainsi que l'efficacité d'action des médicaments. De nombreuses techniques, basées sur cette énantiosélectivité, ont été développées afin de sélectionner l'un ou l'autre de ces énantiomères. Toutefois ces techniques possèdent une sensibilité réduite et ne peuvent par conséquent être utilisées pour mesurer des dynamiques attosecondes ou femtosecondes en phase gaseuse, c'est à dire dans un milieu peu dense où il n'y a pas d'effets de solvatation.

#### 2. DICHROISME CIRCULAIRE DE PHOTOÉLECTRONS

Dans un milieu gazeux, l'explosion Coulombienne initiée par un champ laser intense peut être utilisée pour accéder à la configuration absolue de la molécule cible en imageant directement la géométrie nucléaire. Il est ainsi possible de séparer deux énantiomères sans avoir recours à un support théorique. Toutefois, cette technique est limitée à des molécules chirales de petites tailles du fait de la dégradation du taux de détection en coïncidence avec l'augmentation du nombre de fragments. Ainsi, la mesure du dichroisme circulaire de photoélectrons, noté PECD (Photoelectron Circular Dischroism) est l'alternative la plus communément utilisée en phase gazeuse. Elle consiste à ioniser un échantillon énantiomériquement pur de molécules chirales non alignées à l'aide d'une onde électromagnétique polarisée circulairement [1].

La distribution angulaire des photoélectrons émis présente alors une grande disymétrie avant/arrière suivant l'axe de propagation du champ ionisant. Cet effet, initialement observé sur synchrotron, est un effet strictement dipolaire qui résultent des interférences entre les différentes ondes de diffusion ou, en d'autres termes, de la diffusion de l'electron par le potentiel chiral lors de la photoionisation [3]. Si l'on note R (respectivement L) la distribution angulaire de photoélectrons mesurée lors de l'interaction avec un champ polarisé circulairement droit (respectivement gauche), cette mesure différentielle peut être exprimée par :

$$PECD = 2\frac{L - R}{L + R} \tag{1}$$

Le signal, traduisant l'asymétrie de la distribution angulaire des photoélectrons en fonction de l'hélicité du champ ionisant, est macroscopique, peut atteindre plusieurs dizaines de pourcents et change de signe lorsque l'on passe d'un énantionère à l'autre ou que l'on inverse le sens de rotation du champ. De plus, ce signal est très sensible à la configuration électronique (orbitales) de la molécule, aux substitutions chimiques ainsi qu'à la conformation ou à l'excitation vibrationnelle [1]. Dans ces conditions, le PECD apparaît comme l'observable la plus adaptée à l'étude de dynamiques de systèmes chiraux en phase gaseuse.

#### 3. GÉNÉRATION D'HARMONIQUES QUASI-CIRCULAIRES

Afin de se placer dans ce régime d'ionisation à un photon tout en conservant un résolution temporelle femtoseconde, nous utilisons le processus de génération d'harmoniques d'ordre élevé pour produire des photons dans l'utraviolet du vide (VUV) avec une polarisation circulaire.

Les harmoniques d'ordre élevé, de part leur méchanisme de génération basé sur la recombinaison d'un paquet d'onde électronique initialement éjecté dans le continuum avec la partie de la fonction d'onde non ionisée, sont généralement obtenues à partir d'un champ polarisée linéairement. Dans ces conditions, les harmoniques obtenues sont elles-même polarisées linéairement. Si l'on augmente l'ellipticité du champ générateur afin d'obtenir des harmoniques polarisées elliptiquement, le flux de ces dernières diminuent très rapidement, tandis que leur ellipticité reste toujours inférieure à celle du fondamental. Avec cette technique, il n'est alors pas possible d'obtenir un degré d'ellipticité supérieur à 0.4 [2].

Or, notre équipe a récemment découvert qu'il était possible d'obtenir un très fort dégré d'ellipticité des harmoniques tout en conservant un champ fondamental peu elliptique, assurant ainsi un excellent rendement de génération, lorsque ce processus était influencé par la présence de résonances électroniques [6]. Grâce à ce nouveau mécanisme nous avons été en mesure de générer des harmoniques quasiment circulaires dans la molécule de SF<sub>6</sub> qui présente autour de l'harmonique 15 du fondamental (800 nm) une résonance de forme [7].

A l'aide de cette nouvelle source de photons VUV quasi-circulaires, nous avons alors mesuré le signal de PECD après ionisation de la fenchone. Cette mesure, comparable qualitativement à celle obtenue sur synchrotron, va nous servir de référence lors de notre étude du PECD pour les différents régimes d'ionisation.

#### 4. Universalité du PECD

En augmentant la longueur d'onde des photons ionisants, et donc le nombre de photons absorbés (harmonique 3 du 400 nm obtenue via la génération d'harmoniques résonnante dans SF<sub>6</sub>, 3 photons à 400 nm, 6 photons à 800 nm ou 14 photons à 1850 nm), il est possible de modifier le régime d'ionisation tout en s'assurant que l'énergie cinétique des photoélectrons reste constante. Ainsi, plus le nombre de photons initiaux augmente, plus on s'approche du régime d'ionisation tunnel. Quelque soit le régime considéré, nous mesurons un fort PECD dont les structures reflètent la dynamique d'ionisation, indépendamment de la présence ou non d'une résonance. Cette étude permet donc de mettre en évidence l'intérêt des lasers femtosecondes pour l'étude de dynamiques au sein de systèmes chiraux en phase gaseuse via la mesure du PECD.

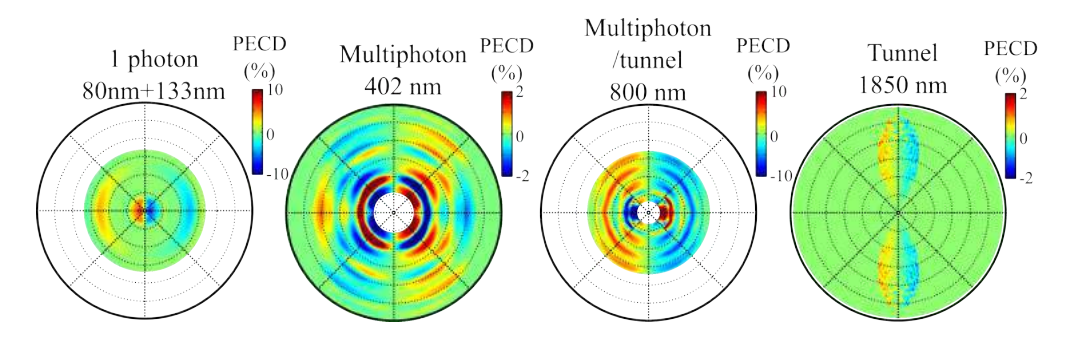


FIGURE 1 : PECD obtenus lors de l'ionisation de la fenchone par des impulsions femtosecondes dans différents régimes d'ionisation : ionisation à 1 photon VUV obtenu par la technique de génération d'harmoniques résonnantes dans SF<sub>6</sub> par des impulsions à 400 nm, ionisation multiphotonique à 400 nm, ionisation dans un régime intermédiaire à 800 nm et ionisation tunnel à 1850 nm. Dans chacun de ces cas, un signal de PECD conséquent est mesuré reflétant dans ses structures la dynamique d'ionisation. L'échelle radiale est comprise entre 0 et 12 eV.

#### 5. DYNAMIQUE DE RELAXATION

En guise de première étude dynamique, nous nous sommes intéressés à la relaxation des états de Rydberg de la molécule de fenchone excitées via l'absorption d'un photon linéaire à 200 nm. Ces molécules excitées sont ensuite ionisées par un photon circulaire à 400 nm après un certain délai. En décomposant le signal de PECD obtenu sur la base des polynômes de Legendre, il est possible de suivre l'évolution des structures angulaires de la distribution de photoélectrons au cours du temps. Nous constatons ainsi que le signal de PECD encode une information plus riche et plus détaillée sur la dynamique que celle contenue dans le seul spectre de photoélectrons. Nous avons dès lors exploité cette sensibilité du PECD pour étudier les dynamiques initiées par différents schémas d'excitation que nous présenterons au cours de la conférence.

- [1] L. Nahon, G. A. Garcia, and I. Powis, "Valence shell one-photon photoelectron circular dichroism in chiral systems", *Journal of Electron Spectroscopy and Related Phenomena*, **204**, 322–334 (2015).
- [2] Ph. Antoine, B Carré, A L'Huillier, and M Lewenstein. "Polarization of high-order harmonics", *Phys. Rev. A*, **55**, 131–24 (1997)
- [3] B. Ritchie, "Theory of the angular distribution of photoelectrons ejected from optically active molecules and molecular negative ions", *Phys. Rev. A*, **13**, 1411–1415 (1976).
- [4] C. Lux, M. Wollenhaupt, T. Bolze, Q. Liang, J. Köhler, C. Sarpe, and T. Baumert, "Circular dichroism in the photoelectron angular distributions of camphor and fenchone from multiphoton ionization with femtosecond laser pulses", *Chem. Int. Ed.*, **51**, 5001–5005 (2012).
- [5] K. S. Budil, P. Salières, A. L'Huillier, T. Ditmire, and M. D. Perry, "Influence of ellipticity on harmonic generation", *Phys. Rev. A*, **48**, 3437(R) (1993).
- [6] A. Ferré, A. E. Boguslavskiy, M. Dagan, V. Blanchet, B. Brumer, F. Burgy, A. Camper, D. Descamps, B. Fabre, N. Fedorov, J. Gaudin, G. Geoffroy, J. Mikosch, S. Patchkovskii, S. Petit, T. Ruchon, H. Soifer, D. Staedter, I. Wilkinson, A. Stolow, N. Dudovich, and Y. Mairesse "Multi-Channel Electronic and Vibrational Dynamics in Polyatomic Resonant High-Order Harmonic Generation", *Nature Photonics*, 6, 5952 (2015).
- [7] A. Ferré, C. Handschin, M. Dumergue, F. Burgy, A. Comby, D. Descamps, B. Fabre, G. A. Garcia, R. Géneaux, L. Merceron, E. Mével, L. Nahon, S. Petit, D. Staedter, S. Weber, T. Ruchon, V. Blanchet and Y. Mairesse, "A table-top ultrashort light source in the extreme-ultraviolet for time-resolved circular dichroism experiments", *Nature Photonics*, 9, 93 (2015).

#### 2015, Annee de la Lumiere en France est un immense succes!

#### Costel Subran<sup>1</sup>

<sup>1</sup> « 2015, Année de la Lumière en France » Comité National d'Optique et de Photonique, 13, Rue Moreau, 75012 Paris, France

Ouverte le 8 janvier, lors d'une prestigieuse manifestation de lancement dans le grand amphithéâtre de la Sorbonne, « 2015, Année de la Lumière en France » a été un grand succès populaire. Nos commissions ont labellisé plus de 1.200 évènements. Des évènements dans tous les domaines : arts, culture, éducation, jeunesse, astronomie, éclairage, vision, recherche, industrie, santé.

La Cérémonie de clôture de « 2015, Année de la Lumière en France », à Paris, ville lumière, a eu lieu le 23 février 2016 dans les Salons de l'Hôtel de Ville. Devant le nombre important de demandes d'organisation d'évènements au-delà du 31 décembre 2015, et ce dans tous les domaines, le Comité national de l'Année de la Lumière en France a prolongé cette année exceptionnelle jusqu'au 30 juin 2016.

L'ensemble des régions se sont impliquées dans ces manifestations centrées sur la lumière, de Paris à toutes les métropoles régionales, de petites villes jusqu'aux villages, des salles de spectacles et amphithéâtres aux collèges, lycées et MJC, des festivals aux grandes conférences. On estime les montants investis par tous les acteurs pour assurer les succès de cette année - lumière à plus de 2M€ pour atteindre un public de plusieurs dizaines de milliers de participants.

Les manifestations sont et ont été majoritairement orientées vers les jeunes et le grand public. Enseigner librement la lumière aux jeunes à partir de 7 ans, faciliter la diffusion des connaissances dans les écoles à destination des élèves mais aussi des enseignants et des parents, est notre mission principale tout au long de cette année des lumières.

Une cérémonie de célébration sera organisée à Lyon au mois de novembre 2016. Cette cérémonie festive permettra aux acteurs régionaux et nationaux qui auront contribué au succès de l'« Année de la Lumière en France » de participer à un beau rassemblement à connotation artistique: spectacles de lumière, pièces de théâtre, animations visuelles.

#### QUELQUES OPTICIENNES (PAS ASSEZ) CÉLÈBRES

#### Caroline Champenois<sup>1</sup>

<sup>1</sup> Aix Marseille Université, CNRS, PIIM UMR 7345, 13397, Marseille, France caroline.champenois@univ-amu.fr

#### RÉSUMÉ

Je présente ici les découvertes liées à l'optique de quelques femmes oubliées des livres de cours.

MOTS-CLEFS: Femmes et Physique, modèles féminins, optique

#### 1. OBJECTIFS

La désaffection des filles pour les sciences dites "dures" a plusieurs causes que de nombreuses études récentes tentent d'expliciter. Une des causes avancées est le manque de modèles féminins que les élèves puis les étudiant.e.s croisent au cours de leurs études <sup>1</sup>. Dans mon exposé, je présenterai les portraits, travaux, et contributions majeures de quelques opticiennes (pas assez célèbres mais qui le mériteraient!) pour que vous puissiez à votre tour vous en emparer et briser ainsi un peu plus l'image d'une science faite uniquement par des hommes.

<sup>1.</sup> voir par exemple le programme Européen GenPORT http://www.genderportal.eu/projects/pan-european-women-ambassadors-programme-bringing-role-models-schools-and-universities

#### LE MOOC « PHYSIQUE DES OBJETS DU QUOTIDIEN »

#### Ulysse Delabre<sup>1</sup>

<sup>1</sup> Univ. Bordeaux, LOMA, UMR 5798, F-33400 Talence, France.

<sup>2</sup> Laboratoire Ondes et Matière d'Aquitaine, CNRS, UMR 5798, F-33400 Talence, France.

ulysse.delabre@u-bordeaux.fr

#### RÉSUMÉ

En 2016, un cours en ligne gratuit, ouvert à tous sur le thème de la « Physique des Objets du Quotidien » a été diffusé par l'Université de Bordeaux via la plateforme nationale France Université Numérique. Un des objectifs de ce cours était de présenter la physique associée à 5 objets de notre quotidien et proposer des expériences simples à refaire chez soi autour de ces objets. Cet exposé est l'occasion de revenir sur le déroulement de ce cours et sur les retours des apprenants.

MOTS-CLEFS: cours en ligne; expériences; MOOC

#### 1. Introduction

En 2016, un cours en ligne gratuit, ouvert à tous sur le thème de la « Physique des Objets du Quotidien » a été diffusé par l'Université de Bordeaux via la plateforme nationale France Université Numérique. Un des objectifs de ce cours était de présenter la physique associée à 5 objets de notre quotidien et proposer des expériences simples à refaire chez soi autour de ces objets. Ce cours était divisé en 5 semaines de cours, chacune de ces semaines portant sur un objet de notre quotidien en particulier. La semaine 1 présentait le four à micro-ondes, la semaine 2 discutait du fonctionnement du liquide vaisselle, la semaine 3 s'intéressait aux écrans et afficheurs, la semaine 4 décrivait le fonctionnement des CD, DVD et Blu-ray et enfin la semaine 5 présentait les smartphones et l'utilisation des smartphones en science. A la fin de chaque semaine, des vidéos d'immersion en laboratoire présentaient également comment les mêmes concepts physiques étaient utilisés en recherche fondamentale. Les cours se basaient sur plusieurs vidéos de cours relativement courtes (10 minutes) durant lesquelles les enseignants du MOOC (équipe de 8 enseignants) commentaient et décrivaient les phénomènes physiques d'un point de vue théorique et expérimental.

Pour ce cours, plusieurs vidéos d'expériences ont été filmées pour décrire la physique à partir d'expériences simples. Une des singularités de ce cours était de demander aux apprenants de refaire certaines expériences chez eux pour valider ce MOOC ce qui a été très apprécié par les apprenants. Cet exposé est l'occasion de revenir sur les expériences demandées notamment en optique et de faire un bilan de cette expérience très enrichissante de cours en ligne à distance.



Fig. 1 : Gauche : Affiche du MOOC Physique des Objets du Quotidien. Droite : Carte des apprenants du MOOC. Plus la couleur est foncée plus il y a d'inscrits dans le pays. https://www.fun-mooc.fr/courses/ubordeaux/28003/session01/about

#### UNE APPROCHE EXPERIMENTALE DE L'OPTIQUE EN LICENCE

#### Gaël Latour<sup>1</sup>, Marie Godard<sup>2</sup>, Vincent Guillet<sup>3</sup>

<sup>1</sup> Laboratoire Imagerie et Modélisation en Neurobiologie et Cancérologie, Université Paris-Sud, CNRS, Université Paris-Saclay, Orsay, France

<sup>2</sup> Centre de Sciences Nucléaire et de Sciences de la Matière, Université Paris-Sud, CNRS, Université Paris-Saclay, Orsay, France

<sup>3</sup> Institut d'Astrophysique Spatiale, Université Paris-Sud, CNRS, Université Paris-Saclay, Orsay, France

gael.latour@u-psud.fr

#### RÉSUMÉ

L'enseignement de l'optique (géométrique et ondulatoire) se fait sous forme de modules expérimentaux durant les deux premières années de licence à l'Université Paris-Sud.

**MOTS-CLEFS :** enseignement en licence, optique géométrique, optique ondulatoire, travaux pratiques

L'enseignement de l'optique en licence se fait sous forme de modules expérimentaux à l'université Paris-Sud. L'enseignement de l'optique géométrique en L1 (450 étudiants) est un module de 30h avec un alternance de cours-TP et de TD. Celui d'optique physique en L2 (100 étudiants) est un module de 25h qui se décline de la façon suivante : 5h de cours, 6h de TD et 4 TP de 3h30. L'objectif est d'identifier des compétences expérimentales que les étudiants doivent acquérir et que nous évaluons en fin de module à travers des examens de TP individuels. Nous souhaitons également rendre les étudiants plus autonomes et participatifs dans leur apprentissage avec des séances de TP qui s'apparentent à des projets expérimentaux et avec l'utilisation des clickers.

## LE PLATEAU PEDAGOGIQUE LASER DE L'UNIVERSITE DE BORDEAUX AU SERVICE DE LA FORMATION INITIALE ET CONTINUE

#### Inka Manek-Hönninger

CELIA UMR 5107, Université de Bordeaux, 351 Cours de la Libération, 33405 Talence, France, et UF de Physique, Collège Sciences et Technologies, Université de Bordeaux

inka.manek-honninger@u-bordeaux.fr

#### RÉSUMÉ

Le plateau pédagogique laser de l'université de Bordeaux permet de concentrer un maximum d'équipements laser et optique en un lieu unique afin de former à une diversité de matériels, en général inaccessibles pour la formation, et cela de manière très approfondie.

**MOTS-CLEFS**: laser; formation initiale; formation continue; photonique

Le plateau pédagogique, plateforme mutualisée entre le CRPhy (Centre de Ressource en Physique de l'UF de Physique, Collège ST, Université de Bordeaux) et PYLA (Centre de formation continue du pole de compétitivité « Route des Lasers ») est un support pour les formations en optique, photonique et laser. Il a pour mission de recherche l'innovation pédagogique dans ces domaines ; assurant ainsi le lien entre les laboratoires de recherche et les acteurs socioéconomiques. Le plateau pédagogique est un lieu de transfert de compétences entre les experts scientifiques.

Cet outil d'excellence technologique et scientifique à caractère collaboratif permet de faire émerger de nouveaux modèles de formation pour accompagner l'évolution des métiers de la filière photonique et ainsi maintenir la formation des étudiants au niveau des attentes du marché présentes et futures. Par ailleurs, la capacité à proposer une formation toujours renouvelée, innovante, unique en France renforce l'attractivité auprès des étudiants de la formation initiale.

Le plateau pédagogique est également une ressource destinée aux industriels pour l'innovation en ingénierie pédagogique : optimiser les échanges entre la formation, la recherche et les industriels, diffuser les bonnes pratiques et proposer des formations adaptées aux situations de travail. Le plateau pédagogique, modulable s'adapte aux besoins spécifiques des industriels. Ainsi la modularité d'exploitation du plateau pédagogique permet de faire profiter aux apprentis et étudiants les échanges constants avec les industriels.

Le plateau pédagogique est installé dans le bâtiment Institut d'Optique d'Aquitaine sur une surface de 500m² entièrement dédiés à la formation en optique laser. Le plateau pédagogique est sous la responsabilité du Centre de Ressources de Physique de l'Université de Bordeaux. Un enseignant chercheur en assure la responsabilité. Il est épaulé par un technicien spécialisé en optique laser de l'équipe PYLA dont la mission est entièrement dédiée au maintien en condition opérationnelle des outils pédagogiques.

Du point de vue de la définition de l'offre de formation continue, un enseignant chercheur assure la responsabilité pédagogique.

## MALLETTE PEDAGOGIQUE POUR L'HOLOGRAPHIE : COMMENT FAIRE DES EXPERIENCES POUR L'ENSEIGNEMENT SUPERIEUR EN S'AFFRANCHISSANT SIMPLEMENT DES VIBRATIONS PARASITES

#### A. Escarguel<sup>1</sup>, R. Baude<sup>1</sup>

<sup>1</sup> Laboratoire PIIM, UMR 7345 CNRS, case 322, Université d'Aix-Marseille, av. escadrille Normandie-Niemen, 13397 Marseille Cedex 20, France

alexandre.escarguel@univ-amu.fr

#### RÉSUMÉ

L'holographie fait partie des expériences de base indispensables à toutes les filières d'optique. Elle a beaucoup d'applications et permet d'illustrer de nombreuses propriétés physiques des rayonnements cohérents. D'autre part, il est très valorisant pour un étudiant de réussir un hologramme, objet de curiosité qui garde toujours une petite part de « magie ». Cependant, il est d'habitude nécessaire d'utiliser un dispositif anti-vibratoire très couteux pour réussir ce type d'expériences. Afin de pallier à ce problème, nous avons réalisé un outil pédagogique pour l'holographie monochrome en 2010 [1, 2, 3]. Très compact, tout le matériel nécessaire est contenu dans une petite mallette. Des expériences d'interférométrie double exposition, de réalisation de filtres « notch » ou de réseaux de diffraction peuvent être réalisé sur une simple table. Cet outil est actuellement utilisé dans plusieurs Masters/Licence de l'Université d'Aix-Marseille et est régulièrement prêté à des établissements du secondaire dans le cadre de leurs projets pédagogiques.

En 2015, nous avons développé une nouvelle version de cet outil, permettant de réaliser des hologrammes couleur plus grands et offrant la possibilité de faire plus d'expériences pour les enseignements en Licence ou Master et dans les écoles d'ingénieurs. L'outil permet aussi chaque année de réaliser des journées de formation continue des enseignants du secondaire et est très fréquemment utilisée pour des actions de diffusion de la culture scientifique.

Le stand permettra de réaliser des expériences d'holographie afin d'illustrer les possibilités de l'outil : multiplexage fréquentiel/angulaire, double hologramme par réflexion/transmission, filtre « notch », réseau de diffraction.

MOTS-CLEFS: holographie; interférence; pédagogie; travaux-pratiques

- [1] T. Voslion, A. Escarguel, « *An easy teaching tool for holography* », Eur. J. Phys. 33 1803–1811 (2012)
- [2] Th. Voslion, A. Escarguel, " *An easy physics outreach and teaching tool for holography* ", International Symposium on Display Holography, MIT Media Lab, Cambridge Massachusetts USA, J. Phys.: Conf. Ser. 415 012001 (2012).
- [3] A. Escarguel, «Upgrade of the pedagogic/popular science tool for holography: color holography », 10 International Symposium on Display Holography, St Pétersbourg (2015)

#### PHOTONIQUE MONDIALE, STRATEGIE ET PERSPECTIVES

#### Costel Subran<sup>1</sup>

<sup>1</sup> Société Française d'Optique, 2 Avenue Augustin Fresnel, 91127 Palaiseau Cedex

La photonique mondiale enregistre, selon les dernières évaluations de l'OSA un chiffre d'affaires d'environ 4Md USD dont environ 10Md USD dans l'industrie du laser. Les principaux secteurs d'intégration verticale sont : énergie, éclairage, sciences de la vie, machine- outils, communications, sécurité. Le marché de la photonique est un marché global entre les ressources en matériaux, la fabrication, l'intégration en produits capacitants. Avec un leadership indéniable dans les écrans, le photovoltaïque et les LED's, l'Asie prends environ 64% du marché mondial, l'Europe arrive avec 17% du marché loin derrière. La photonique mondiale crée des continuellement des emplois chiffrés fin 2015 à plus de 125.000, dans plus de 900 sociétés.

## CNOP - PHOTONIQUE FRANÇAISE, ACTIONS ET PERSPECTIVES

## Philippe BREGI<sup>1</sup>

<sup>1</sup>CNOP, 13 rue Moreau, 75012 Paris

pbregi@egide.fr

## RÉSUMÉ

Le Comité National d'Optique - Photonique a pour mission de fédérer et coordonner au niveau national les actions en faveur de la photonique tant en France qu'à l'international. Son président fera un point des actions menées depuis le dernier congrès de la SFO (juillet 2015) et des perspectives pour les années suivantes.

# CREATION D'ENTREPRISES AUTOUR DES LASERS A FIBRES: ENJEU DE L'INTEGRATION

## Benoît Apper-Collin<sup>1</sup>

<sup>1</sup> Alphanov, Institut d'Optique d'Aquitaine, Rie François Mitterand, 33400 Talence, France benoit.appert-collin@alphanov.com

### RÉSUMÉ

Les lasers à fibres représentent un marché mondial de plus de 1,5 milliards de dollars en croissance annuelle de l'ordre de 15%. L'enjeu économique est donc très important pour notre filière d'autant que le socle de recherche académique français est au meilleur niveau dans ce domaine. Les initiatives des chercheurs dans les laboratoires publics ou leur association avec des entrepreneurs sont d'ailleurs à l'origine de nombreux succès industriels et plusieurs leaders internationaux ont ainsi émergés sur les 15 dernières années. Illustration avec le centre technologique ALPhANOV de l'aide concrète à ces créations d'entreprises ainsi qu'à leur développement vers les marchés applicatifs : instrumentation, procédés lasers, médical...

**MOTS-CLEFS:** laser à fibre ; création d'entreprise ; entrepreunariat ; session industrielle

# POIETIS, LA START-UP À L'INTERFACE PHOTONIQUE - BIOIMPRESSION TISSULAIRE

## Bertrand VIELLEROBE<sup>1</sup>

<sup>1</sup> Biparc Bordeaux Métropole, 27 allée Charles Darwin, 33600 Pessac, France bertrand.viellerobe@poietis.com

### RÉSUMÉ

La bioimpression par laser est considérée aujourd'hui comme la technologie de rupture nécessaire pour atteindre le niveau de complexité et de précision requis pour imprimer des tissus biologiques similaires aux tissus natifs. POIETIS, première start-up au monde dans ce domaine, a pour ambition de développer cette technologie et ses applications pour de nombreux domaines biomédicaux. La génèse du projet, la structuration de l'entreprise et ses perspectives de développement technologique comme applicatif seront présentées lors de cette conférence.

**MOTS-CLEFS:** start-up; bio-impression; tissu biologique; session industrie

## **RÉSUMÉ**

# ACCELERATEURS INNOVANTS DE PARTICULES ET DE RAYONNEMENT PAR LASER ULTRA-INTENSE

## François Sylla<sup>1</sup>

<sup>1</sup>SourceLAB SAS, 86 rue de Paris, 91400 Orsay

sylla@sourcelab-plasma.com

## RÉSUMÉ

SourceLAB ambitionne de proposer au marché du Contrôle Non Destructif industriel une solution alternative complète de génération de source X, basée sur l'interaction d'un laser intense avec un plasma.

## CETTE TECHNIQUE DE RUPTURE EST ABSOLUMENT INEDITE

- i. **en termes de résolution :** La génération de la source X induit des tailles de sources de 50μm, augmentant significativement la résolution de la mesure radiographique.
- ii. **en termes de débit de dose :** les valeurs sont de l'ordre de la dizaine de Gy/min à 1 m . Ces performances sont très intéressantes laissent envisager une augmentation de la productivité avec un laser haute-cadence (centaine de Hz à kHz).
- iii. **en termes d'énergie :** la technologie SourceLAB permet d'atteindre des énergies de rayons X très élevées, jusqu'à plusieurs centaines de MeV, pour l'analyse de pièces très épaisses et denses.
- iv. **en termes d'accordabilité :** cette technique de génération laser-plasma laisse présager la possibilité de choisir l'énergie du spectre X pour améliorer l'interprétation des images radiographique.
- v. **en termes de radioprotection :** la source envisagée est « ON-OFF », c'est-à-dire que le rayonnement n'est pas émis sans l'action de l'utilisateur.

## NANOLASERS COUPLES A CRISTAL PHOTONIQUE

## Alejandro M. Yacomotti

Laboratoire de Photonique et de Nanostructures (CNRS UPR 20),

Route de Nozay, Marcoussis, 91460, France

alejandro.giacomotti@lpn.cnrs.fr

#### RÉSUMÉ

Des nanolasers couplés sont des systèmes idéaux « multi puits de potentiel » pour des applications en optique nonlinéaire et quantique. Grâce aux faibles volumes optiques, et à l'interaction efficace des photons avec le milieu à gain, ils permettent notamment de mettre en œuvre des phénomènes nonlinéaires intéressants avec un faible nombre de photons, ce qui les distingue de leurs homologues classiques. En particulier, nous avons démontré récemment la brisure spontanée de symétrie miroir dans deux nanolasers à cristal photonique couplés en semiconducteur III-V (InP). Nous avons mis en évidence l'existence d'une bifurcation de type fourche donnant naissance à deux états localisés avec seulement 150 photons dans les nanocavités. Ceci ouvre des perspectives intéressantes pour la génération de fortes corrélations photoniques, qui pourraient présenter des signatures quantiques dans des futurs nanolasers encore plus performants.

**MOTS-CLEFS:** Nanophotonique, cavités optiques, cristaux photoniques, semiconducteurs, dynamique non-linéaire, nanolasers, optique quantique

### 1. Introduction

Depuis les travaux séminaux de Bjorg et Yamamoto, le domaine des nanolasers à suscité un fort intérêt, aussi bien sur le plan fondamental que sur les applications en micro et nanophotonique. De par leurs faibles volumes modaux mais aussi les propriétés de leur environnement électromagnétique –tel qu'un cristal photonique–, les nanolasers permettent d'atteindre de forts facteurs d'émission spontanée ( $\beta$ ), ce qui quantifie le couplage de l'émission spontanée dans le mode laser. Ceci a un impact en termes du seuil laser, ce qui est à l'origine de nombreuses recherches vers la réalisation du « laser sans seuil ». Mais aussi, c'est le nombre caractéristique des photons dans la cavité qui est fortement réduit. En effet, le nombre de photons qui sature le milieu à gain suit une loi  $S\sim 1/\beta$ , ce qui veut dire que pour des nanolasers à fort  $\beta$  ( $\beta\sim 1$ ), seulement peu de photons en moyenne se trouveront dans la cavité. Ainsi, des nanolasers constituent aujourd'hui des systèmes très prometteurs pour étudier l'interaction lumière-matière, notamment via l'émission stimulée, à l'échelle de quelques photons.

La nano-photonique en semi-conducteur permet également de réaliser des systèmes photoniques multi-cavités, ou "molécules photoniques", à l'aide du couplage optique —e.g. évanescent— inter-cavité. Ainsi, l'interaction lumière-matière s'associe à des paysages "multi puits de potentiel", ce qui constitue des briques de base idéales pour l'optique quantique avancée et l'optique non linéaire.

Un phénomène clé résultant d'un double puits de potentiel en présence de nonlinéarités, est la brisure spontanée de la symétrie (BSS) d'inversion, c'est-à-dire le passage d'un état délocalisé à deux états localisés dans les puits, qui sont des images spéculaires l'une de l'autre. Bien que quelques études théoriques aient démontré la BSS dans des systèmes micro et nanophotoniques, la première preuve expérimentale a été rapportée tout récemment [2].

### 2. RÉSULTATS

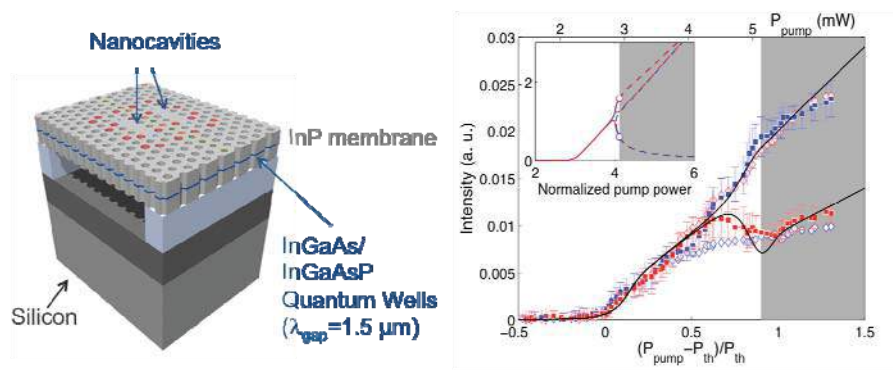
Le phénomène de BSS dans un système à cavités couplées actives repose sur un mécanisme de compétition entre la nonlinéarité optique liée à l'excitation des porteurs de charge dans le semiconducteur, et l'effet tunnel photonique entre les cavités. Il en résulte que la BSS peut être atteinte lorsque l'énergie d'interaction nonlinéaire est du même ordre —ou plus grande— que celle due au couplage inter-cavité —ou énergie de dédoublement modal—. L'abaissement du taux de couplage par la conception de la molécule photonique est donc un point clé pour l'observation expérimentale de la BSS [3].

Dans ce travail on montre la BSS via une bifurcation de fourche (*pitchfork*), dans deux nanolasers couplés à semiconducteurs. Les nanocavités en membrane suspendue InP sont constituées par deux défauts optiques (trois trous manquants, L3) dans cristal photonique triangulaire de trous d'air (Fig. 1, gauche). Le milieu à gain est constitué par de puits quantiques InGaAs/InGaAsP insérés dans la membrane. En ce qui concerne la géométrie particulière du cristal photonique, nous avons mis en œuvre trois modifications du réseau de trous autour des cavités afin de : i) augmenter le facteur de qualité des cavités à des valeurs Q~5000 (trous bleus) ; ii) confiner l'émission dans un angle faible autour de la direction verticale, afin d'accroître l'efficacité de couplage des photons à l'espace libre (trous rouges); iii) contrôler le couplage évanescent grâce à l'ingénierie de barrière de potentiel séparant les cavités [3] (trous verts).

Afin de démontrer la BSS, le système est pompé de façon incohérente par un laser ( $\lambda$ =800 nm) focalisé au centre de la molécule photonique. Le laser de pompe est modulé avec des pulses triangulaires, constituant des rampes de pompe adiabatiques de 30 ns de durée et 50 kHz de taux de répétition. Les photons émis par les deux nanocavités par effet laser sont couplés via deux fibres optiques monomode à deux détecteurs APD (largeur de bande 660 MHz). Au-dessus du seuil laser, deux états distincts ont été obtenus: l'intensité est plus forte dans la cavité gauche par rapport à la cavité droite (Fig. 1, droite, carrés), et vice-versa (Fig. 1, droite, rhomboïdes). Ces deux états s'établissent de façon aléatoire, c'est-à-dire que tantôt la cavité de droite qui est majoritairement allumée, tantôt c'est la cavité de gauche. Ces deux états correspondent aux branches d'une bifurcation fourche, qui peuvent être comparées à un calcul des solutions stationnaires d'un modèle de modes couplés (encart de la Fig. 1, droite). De plus, nous avons pu remonter expérimentalement au nombre de photons présents dans les cavités au seuil de bifurcation, et nous avons obtenu S~150. Ceci est en accord avec le facteur  $\beta$  de nos nanolasers,  $\beta$ =0.02.

### 3. CONCLUSION & PERSPECTIVES

La brisure spontanée de symétrie a été démontrée pour la première fois en nanophotonique. Ceci ouvre des perspectives intéressantes pour la réalisation de bascules (*flip-flops*) optiques ultracompactes et intégrées basées sur BSS. De plus, le nombre de photons présents dans chacune des cavités est faible, de l'ordre d'une centaine. Ainsi, il est possible de prédire, par l'ingénierie du facteur d'émission spontanée, une réduction encore plus forte du nombre de photons à la saturation, ce qui permettrait des transitions de ce type avec seulement quelques photons dans les cavités. Ceci présente un intérêt majeur pour des applications quantiques avec des photons fortement corrélés.



**Fig. 1**: Gauche: dessin de la molécule photonique composée de deux cavités L3 en cristal photonique en régime laser. Période de la maille  $a=425\,$  nm, rayon des trous r=0,266a. Différentes modifications des tailles des trous ont été réalisées: les trous bleus ( $r_{blue}=r-0,06a$ ) augmentent le facteur de qualité des cavités, les trous rouges ( $r_{red}=r+0,05a$ ) améliorent la directivité des photons émis, les trous verts ( $r_{green}=r-20\%$ ) contrôlent la force du couplage et enfin les trous orange ( $r_{orange}=r_{red}$ -20%) réunissent les deux derniers effets. Droite: coexistence des états à parité brisée. Bleu (rouge): intensité du détecteur aligné avec la cavité de gauche (droite). Deux états qui basculent de façon aléatoire sont observés : les symboles carrés (rhomboïdes) correspondent à l'état où la lumière est majoritairement confinée dans la cavité de gauche (droite). Encart : solutions stationnaires d'un modèle de modes couplés [2].

### RÉFÉRENCES

- [1] Y. Yamamoto, S. Machida, and G. Björk, "A microcavity laser with enhanced spontaneous emission," Phys. Rev. A, vol. **44**, pp. 657-668, 1991; G. Björk, & Y. Yamamoto, Y. (1991), "Analysis of semiconductor microcavity lasers using rate equations", IEEE Journal of Quantum Electronics **27**(11), 2386.
- [2] P. Hamel, S. Haddadi, F. Raineri, P. Monnier, G. Beaudoin, I. Sagnes, A. Levenson, and A. M. Yacomotti, "Spontaneous symmetry breaking in coupled photonic crystal nanolasers", Nature Photonics 9, 311–315 (2015)
- [3] S. Haddadi, P. Hamel, G. Beaudoin, I. Sagnes, C. Sauvan, P. Lalanne, J. A. Levenson, and A. M. Yacomotti, "Photonic molecules: tailoring the coupling strength and sign", Opt. Express **22**, 12359 (2014).

## MODULATEURS OPTIQUES POUR LA PHOTONIQUE SUR SILICIUM

# Alexis ABRAHAM<sup>1,2</sup>, Ségolène OLIVIER<sup>1</sup>, Maryse FOURNIER<sup>1</sup>, André MYKO<sup>1</sup>, Laurent VIVIEN<sup>2</sup>, Delphine MARRIS-MORINI<sup>2</sup>,

<sup>1</sup> Univ. Grenoble Alpes, CEA, LETI, MINATEC Campus, 38054 Grenoble, France <sup>2</sup> Univ. Paris-Sud 11, IEF, CNRS UMR 8622, 91405 Orsay, France

alexis.abraham@cea.fr

Cet article présente la conception, fabrication, et caractérisation d'un modulateur optique en silicium. Les procédés technologiques de fabrication sont pris en compte lors de la conception du composant. Une efficacité de modulation de 1.8 V.cm à -2 V, et des pertes de 1.2 dB/mm à 0 V sont obtenues.

MOTS-CLEFS: optique intégré; photonique sur silicium; modulateur optique

## 1. Introduction

La **photonique sur silicium** est une solution très prometteuse pour la réalisation de liens optiques. Cette approche permet d'intégrer des fonctionnalités optiques sur une puce silicium en utilisant les équipements et les procédés de pointe de la microélectronique. L'avantage de cette approche est que la fabrication de composants optiques devient compatible avec de forts volumes de production, tout en réduisant les coûts de fabrication, et permet la co-intégration de composants photoniques avec leurs circuits CMOS de commande. Parmi les composants photoniques constituant un lien optique, le **modulateur optique** représente un enjeu majeur, car il est responsable de la majorité de la consommation énergétique du lien. Sa fonction est de convertir un signal électrique en un signal optique, par exemple deux valeurs de tensions en deux valeurs d'intensité lumineuse.

La conception d'un modulateur optique comporte plusieurs étapes, en particulier la définition de la région active (zone où se produit la modulation) qui inclut une jonction PN. Les niveaux de dopage des régions P et N est critique pour les performances du modulateur. Lors de la conception, en première approximation, ces dopages soient considérés comme uniformes, formant une jonction PN abrupte idéale. Afin d'optimiser plus finement la région active, il est important de coupler les simulations électro-optiques avec des simulations qui tiennent compte des procédés de fabrication, en particulier des étapes d'implantation pour former la jonction PN.

Cet article présente la conception et l'évaluation des performances du modulateur à jonction PN en tenant compte des procédés de fabrication. Les performances expérimentales obtenues valident ce processus de conception. Après l'introduction des bases de la modulation optique dans la section 2, la section 3 détaille la conception de la région active. Les résultats de mesures sont ensuite présentés dans la section 4. La fabrication d'un tel modulateur sera discutée pendant la présentation.

## 2. PRINCIPE DE LA MODULATION OPTIQUE

Parmi les mécanismes possibles pour réaliser une modulation optique, c'est **l'effet d'électroréfraction** obtenu dans le silicium par dispersion plasma qui est le plus couramment utilisé [1]. Cet effet exploite la variation de concentration d'électrons ou de trous dans une structure telle qu'une jonction PN [2].

Le principe du modulateur est le suivant : l'application d'une tension électrique induit une variation de charges dans la structure. Par effet d'électro-réfraction, cette variation de charge modifie localement l'indice de réfraction du guide en silicium. Le mode optique est alors perturbé, ce qui se traduit par un déphasage de l'onde optique. Comme le montre la figure 1, ce déphasage est ensuite converti en modulation d'intensité, par une structure interférométrique de type Mach-Zehnder pour être facilement détectée par une photodiode.

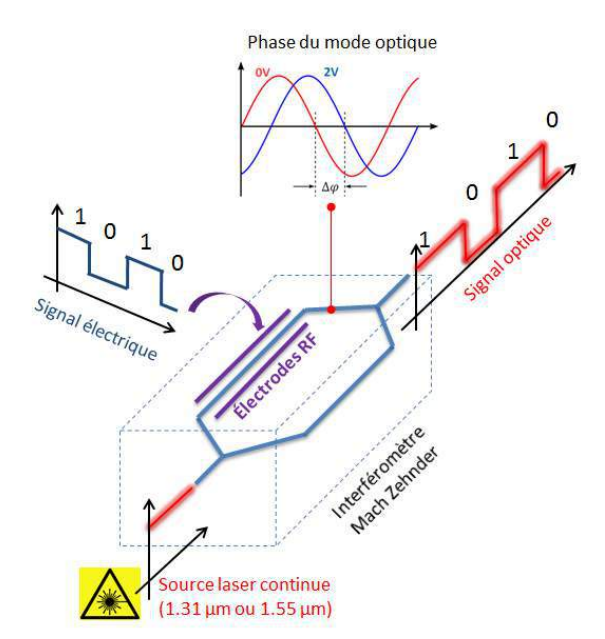


Fig. 1: Principe de fonctionnement d'un modulateur optique.

Les principaux facteurs de mérite pour un modulateur optique sont : (1) l'efficacité de modulation, qui est déterminée par le déphasage  $\Delta \varphi$  produit à une tension donnée. (2) Les pertes dispositif. optiques du Ce principalement des pertes par absorption due au dopage, auxquelles se rajoutent les pertes liées à la rugosité des flancs des guides. En pratique, les pertes visées sont inférieures à 3-4 dB. (3) La bande passante électrique est estimée par le produit RC du circuit électrique équivalent au dispositif. Une bande passante électrique élevée, supérieure à 15-20 GHz par exemple, permet d'obtenir des débits supérieurs 25 Gbps.

## 3. CONCEPTION DE LA REGION ACTIVE

La conception de la jonction PN a été réalisée en tenant compte du cycle de fabrication de la plateforme du CEA-LETI. Pour cette étude, nous avons utilisé des wafers SOI de 200 mm de diamètre, comportant une couche de 220 nm de silicium sur 2 µm d'oxyde enterré. Comme le montre la figure 2, une partie de la couche de silicium est gravée pour définir un guide optique de 400 nm de large, afin d'assurer un comportement monomode.

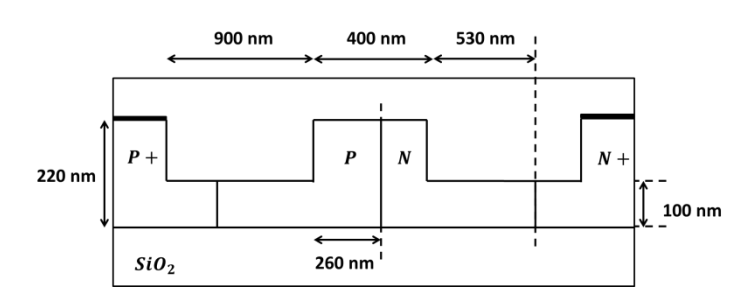


Fig. 2 : Section transverse de la région active du modulateur

Les régions P+ et N+ sont positionnées à 530 nm du guide, ce qui constitue le résultat d'un compromis entre la minimisation de la résistance d'accès et des pertes générées par le fort dopage. La position de la jonction est excentrée de 60 nm par rapport au centre du guide afin de favoriser la déplétion de trous, plus efficace que les électrons en termes de variation d'indice de réfraction.

Une fois la position de la jonction fixée, le profil de dopage est optimisé en combinant des simulations électro-optiques (Suite Lumerical) avec des simulations de fabrication (Silvaco), de manière à prendre en compte les profils de dopages réels pour définir les conditions d'implantation optimales. Plusieurs conditions d'implantations ont été simulées, avec pour objectif d'atteindre le meilleur compromis entre efficacité de modulation et pertes optiques. Le profil de jonction obtenu après optimisation est présenté Figure 3. Les concentrations de Bore (type P) et de Phosphore (type N) sont respectivement de 7.10<sup>17</sup> at/cm³ et de 9.10<sup>17</sup> at/cm³ à mi-hauteur du guide, là où le recouvrement avec le mode guidé est maximal. Les performances statiques du modulateur attendues sont de 1.6 V.cm à -2 V avec des pertes de 1.3 dB/mm à 0 V.

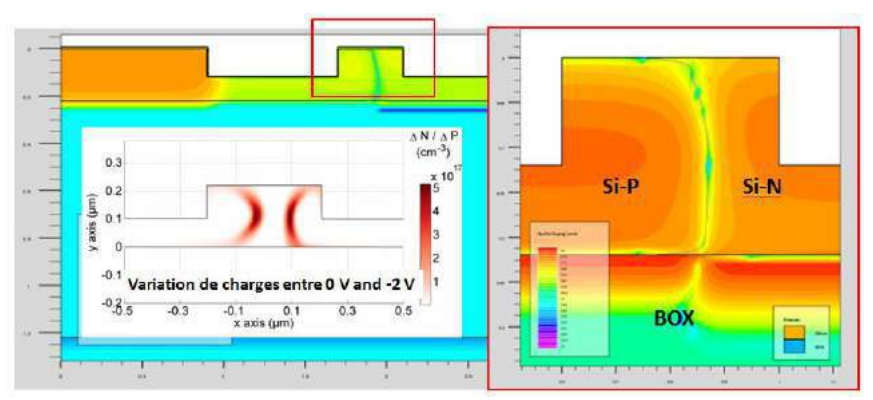


Fig. 3 : Cartographie de la section transverse du modulateur montrant la jonction PN, avec la variation de charges associées sous l'application d'une tension de -2 V.

## 4. CARACTERISATION DU MODULATEUR

La région active a été implémentée dans un interféromètre Mach-Zehnder de 4 mm de long. Pour faciliter les mesures, le Mach-Zehnder est asymétrique, c'est-à-dire que la longueur des deux bras est différente (dans notre cas  $\Delta L = 150~\mu m$ ). Cela permet de générer plusieurs pics de résonnance à intervalle régulier, ici de 4 nm. Comme le montre la figure 4, lorsqu'une tension est appliquée à l'un des bras, le spectre de transmission se décale en fonction de l'efficacité de modulation. Les mesures expérimentales donnent une efficacité de 1.8 V.cm à -2 V, et des pertes optiques de 1.4 dB/mm à 0 V, soit des valeurs proches des simulations réalisées.

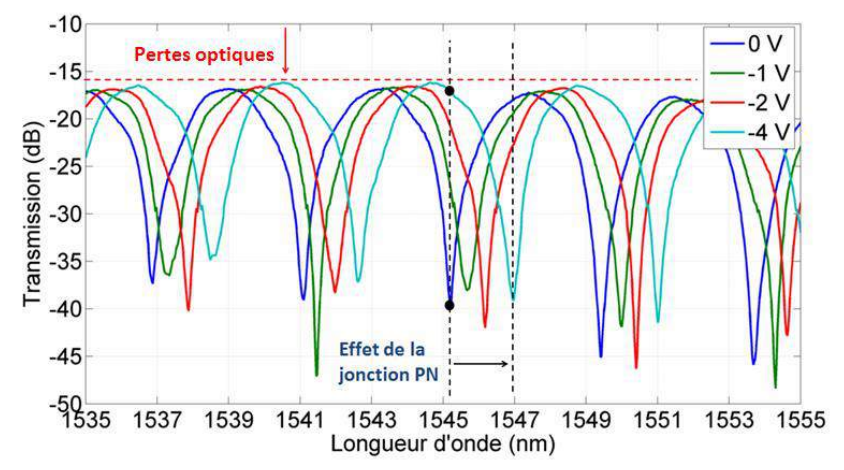


Fig. 4 : Spectre de transmission d'un modulateur Mach-Zehnder de 4 mm de long à différentes tensions

## 5. CONCLUSION

La conception d'un modulateur à jonction PN est une étape clé pour la réalisation de liens optiques. La prise en compte des profils de dopage réels obtenus lors de la fabrication dans les simulations électro-optiques du modulateur nous a permis d'obtenir expérimentalement le point de fonctionnement voulu, en particulier le meilleur compromis entre efficacité de modulation et pertes de propagation à -2V. Ce résultat très encourageant nous incite à prolonger l'étude de dopage et ouvre de nouvelles perspectives, notamment pour mieux comprendre les caractérisations de futurs modulateurs, et simplifier le procédé de fabrication.

- [1] R. Soref and B.Bennett, "Electro-optical effects in silicon", IEEE J. Quantum Electron, 23(1), 1987
- $[2] \ G.\ T.\ Reed, G.\ Mashanovich, F.\ Y.\ Gardes, D.\ J.\ Thomson, "Silicon optical modulators", Nature Photonics, \\ \mathbf{4}(8), 2010$

# GÉNÉRATION SUR PUCE DE SILICIUM DE PAIRES DE PHOTONS MULTIPLEXÉS EN LONGUEUR D'ONDE

Florent Mazeas<sup>1</sup>, Weiwei Zhang<sup>2</sup>, Michele Traetta<sup>1,3</sup>, Marco Bentivegna<sup>4</sup>, Florian Kaiser<sup>1</sup>, Djeylan Aktas<sup>1</sup>, Carlos Alonso Ramos<sup>4</sup>, Lutfi-Arif Bin-Ngah<sup>1</sup>, Tommaso Lunghi<sup>1</sup>, Xavier Le Roux<sup>2</sup>, Delphine Marris-Morini<sup>2</sup>, Laurent Vivien<sup>2</sup>, Éric Cassan<sup>2</sup>, Laurent Labonté<sup>1</sup>, Sébastien Tanzilli<sup>1</sup>

<sup>1</sup>Université Nice Sophia Antipolis, LPMC, CNRS UMR 7336, 06108, Nice, France
<sup>4</sup>Université Paris Saclay, Institut d'Électronique Fondamentale, CNRS UMR 8622, 91405 Orsay, France
<sup>3</sup>University of Bologna, Bologna, 40136, Italy
<sup>4</sup>Sapienza University of Roma, 00185, Roma, Italy

laurent.labonte@unice.fr

### RÉSUMÉ

Nous reportons la conception et la caractérisation d'un générateur de paires de photons, intégré sur substrat de silicium, compatibles avec les réseaux standard des télécoms.

MOTS-CLEFS: télécoms; mélange à quatre ondes; multiplexage; cryptographie.

### 1. Introduction

La confidentialité des données transmises est un enjeu crucial de notre société, la cryptographie quantique (CQ) vient apporter des solutions dont la sécurité inconditionnelle repose sur les principes de la physique quantique, qui permet de révéler toute tentative d'espionnage. Cependant le débit associé à ces communications (quelques Mbits/s au mieux) est réduit par rapport à celui d'un lien de communication classique (~ Gbits/sec) à cause de deux limitations principales, la puissance des signaux et l'interdiction de la copie du signal [1]. Cependant, il devient possible aujourd'hui de contourner ces limitations en exploitant diverses stratégies de multiplexage spatial et spectral. Nous proposons une solution intégrée en technologie silicium (Si) d'une source de paires de photons (SPP) dont les longueurs d'onde sont compatibles avec les réseaux standards des télécoms. La technologie Si est extrêmement bien maitrisée depuis des dizaines d'années grâce à l'électronique, et depuis peu, cette plateforme s'oriente vers la photonique pour la construction de dispositifs hautement non-linéaires  $(n_2(Si) \simeq 10^3 n_2.(SiO_2))$ , compacts grâce à un contraste d'indice élevé (n<sub>silicium</sub>=3,5) et doté d'une grande reproductibilité. Nous pouvons citer les exemples des guides sub-micrométriques ou des micro-résonateurs [2, 3]. Plus récemment, nous avons vu émerger des applications dans le domaine de la photonique quantique, comme par exemple, des expériences d'interférence quantique où les générateurs et les interféromètres ont été entièrement intégrés sur le substrat de silicium [4, 5].

Nous avons conçu et caractérisé de manière classique et quantique un micro-résonateur intégré sur substrat de Si. Les paires de photons générées sont ensuite spectralement démultiplexées grâce à des composants telécoms (multiplexeurs en longueur d'onde (DWDM)), et leur intrication est qualifiée grâce à une expérience d'interférence à 2 photons.

## 2. CONCEPTION ET CARACTÉRISATION D'UN GÉNÉRATEUR DE PAIRES DE PHOTONS INTÉGRÉ

La figure 1 présente le dispositif expérimental pour la génération des paires de photons et l'analyse de leurs corrélations. Le cœur de notre dispositif est un micro-résonateur en forme d'anneau fabriqué sur un substrat de Si. La réponse spectrale du système est un peigne de fréquences où l'espacement entre deux résonances successives correspond à l'intervalle spectral libre (ISL) de la cavité. Le principe de l'expérience consiste à exciter le micro-résonateur sur une résonance, puis de recueillir une paire de photons sur deux résonances symétriques par rapport à la longueur de pompe. Ces paires peuvent provenir

de deux résonances, situées de part et d'autre de la pompe, soit dans des canaux de plus proches voisins mais également plus éloignées. Cette étendue spectrale va déterminer la capacité du système à produire un grand nombre de canaux multiplexés.

Nous cherchons à connaître les dimensions optimales du guide, telles que l'accord de phase du mélange à quatre ondes dégénérés en fréquence (DFWM) soit respecté. La largeur de la bande spectrale où l'accord de phase est préservé peut être défini comme  $|\Delta \beta L_{opt}| < \pi$ , où  $\Delta \beta$  est le désaccord en phase linéaire et  $L_{opt}$  =  $Q\lambda/2\pi n_{eff}$  [6]. Nous avons calculé l'évolution des indices effectifs en fonction de la longueur d'onde pour différentes largeurs de guide, sachant que la hauteur est imposée par la technologie (hauteur des substrats de Si, 220 nm). La figure 2 (a) illustre la quantité  $|\Delta \beta L_{opt}/\pi|$ , et montre que conformément à la littérature, l'accord de phase est obtenu pour des valeurs de dispersion légèrement anormale, c'est-à-dire ici pour une largeur de guide de 600 nm [6]. Le rayon de l'anneau est choisi tel que l'ISL soit compatible avec

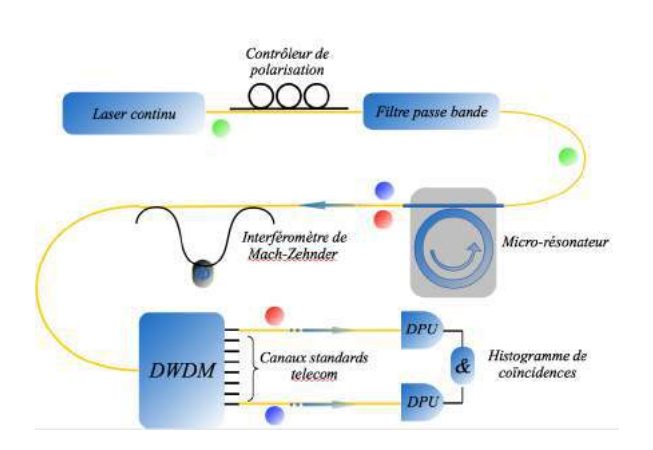


FIGURE 1 : Dispositif expérimental.

la grille ITU (International Telecom Union) des réseaux télécoms, autrement dit un multiple de  $100~\mathrm{GHz}$  afin que les signaux générés puissent se propager à des longueurs d'onde normalisées. Nous avons mesuré à l'aide d'un laser accordable la transmission de notre système sur toute la bande C des télécoms, faisant clairement apparaître les différentes résonances comme le montre la figure  $2~\mathrm{(b)}$ . Nous déduisons respectivement de cette mesure un ISL et un facteur de qualité de  $200~\mathrm{GHz}$  et 40000, ce qui garantit une production efficace de paires de photons. Nous avons également mesuré l'efficacité de notre générateur de paires de photons. Pour ce faire, nous avons soit utilisé une seule pompe pour caractériser l'interaction DFWM spontanée ou alors une pompe et un signal pour la quantifier en régime stimulé. Dans les deux cas, la variation des signaux générés en fonction de la pompe est quadratique, nous assurant que les photons générés sont directement issus du processus quadratique. De plus, nous n'avons pas observé de saturation due à des pertes non-linéaires, comme l'absorption à  $2~\mathrm{photons}$ , ou l'absorption par porteurs libres. Grâce au facteur de qualité élevé, nous avons atteint une production interne de  $3.10^6~\mathrm{paires}$  paires par seconde pour seulement  $500~\mathrm{\mu W}$  de puissance de pompe correspondant à une brillance de  $\sim 10^3~\mathrm{paires/s/MHz/mW}$ , ce qui place cette réalisation parmi les plus efficaces dans le cas micro-cavités monolithiques.

## 3. RÉVÉLATION DE L'INTRICATION EN ÉNERGIE-TEMPS

Nous avons choisi de coder l'intrication sur les observables énergie-temps, en raison de la robustesse démontrée face à la décohérence le long des fibres optiques. Nous souhaitons connaître la qualité de cette intrication générée par notre SPP lorsque celle-ci est distribuée dans des canaux DWDM complémentaires. Ainsi, grâce à un dispositif interférométrique, nous avons mesuré les franges d'interférences à deux photons en fonction de la phase optique de l'interféromètre. La visibilité des franges constitue la figure de mérite permettant de quantifier le degré d'intrication, et donc de qualifier la source [6] L'interférence ne peut avoir lieu que si le déséquilibre de l'interféromètre est (i) plus petit que le temps de cohérence du laser et (ii) plus grand que le temps de cohérence des photons individuels.

Nous nous attachons à relever la figure d'interférences pour les canaux complémentaires contigus au canal dans lequel se trouve la pompe, mais également situés dans des canaux plus éloignés. L'idée est ici de connaître le potentiel de notre SPP à produire des paires de photons multiplexées (figure 2 (b)). Les visibilités brutes déduites de ces courbes sont respectivement de  $(98.1 \pm 2.0)\%$  et  $(97.0 \pm 1.5)\%$  pour

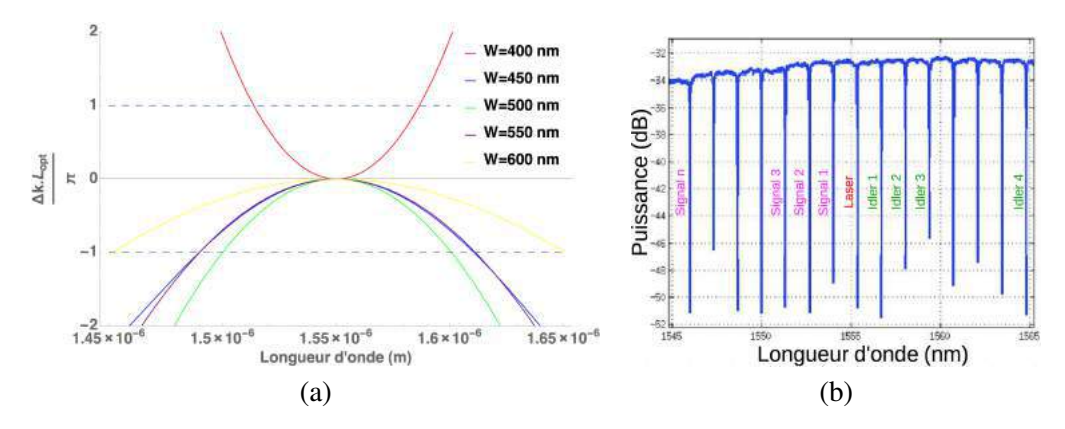


FIGURE 2 : (a) Variation de l'accord de phase pour une longueur de pompe de 1.55  $\mu$ m. (b) Puissance transmise en fonction de la longueur d'onde. La longueur d'onde de pompe est située sur une résonnance, les signaux sont générés de part et d'autre de cette résonance.

les paires de canaux 48 & 52 et 43 & 57 (figure 3). Ces mesures attestent non seulement du potentiel de notre système à produire des paires de photons dont la qualité d'intrication est quasi parfaite mais aussi à proposer un schéma de distribution de paires de photons multiplexés en longueur d'onde.

### 4. CONCLUSION & PERSPECTIVES

Nous avons montré une expérience de distribution de paires de photons multiplexés spectralement. La production de ces paires est d'une part compatible avec les réseaux standards télécoms, et d'autre part intégrée sur une puce photonique en Si dont la taille est très compacte (220 \* 600 nm<sup>2</sup>). Ce système est extrêmement efficace et permet de générer de grande qualité d'intrication. Ce dispositif basé sur un micro-résonateur en Si est prometteur, puisque la technologie Si permet d'envisager d'intégrer d'autres fonctions sur une même puce, à savoir la fonction de filtrage et de routage, qui se fait actuellement à l'aide de composants extérieurs. Cette puce photonique constituerait sans aucun doute le cœur des futurs réseaux de communication sécurisé.

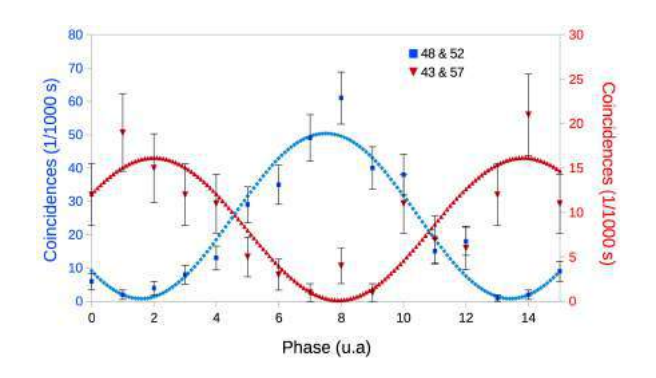


FIGURE 3 : Figure d'interférence à 2 photons pour les canaux 48 & 52 et 43 & 57 permettant de déduire la qualité de l'intrication.

## 5. Références

- [1] N. Gisin et al., "Quantum cryptography", Rev. Mod. Phys. 74, 145, (2002).
- [2] W.C. Jiang et al., "Silicon-chip source of bright photon pairs", Opt. Expr. 23, 20884, (2015).
- [3] D. Grassani *et al.*, "Energy correlations of photon pairs generated by a silicon microring resonator probed by Stimulated Four Wave Mixing", e-print arXiv:1602.04962, (2016).
- [4] S.F. Preble *et al.*, "On-Chip Quantum Interference from a Single Silicon Ring-Resonator Source", Phys. Rev. Appl.4, 021001 (2015).
- [5] J.W. Silverstone *et al.*, "Qubit entanglement between ring-resonator photon-pair sources on a silicon chip", Nat. Commun.**6**, (2015).
- [6] M.A. Foster *et al.*, "Broad-band continuous-wave parametric wavelength conversion in silicon nanowaveguides", Opt. Expr. **15**, 12949, (2007).

## Une approche entièrement guidée pour l'optique quantique en régime de variables continues

Bruno Fedrici<sup>1</sup>, Florian Kaiser<sup>1</sup>, Alessandro Zavatta<sup>2,3</sup>, Virginia D'Auria<sup>1</sup>, et Sébastien Tanzilli<sup>1</sup>

<sup>1</sup> Universitée Nice Sophia-Antipolis, CNRS, Laboratoire de Physique de la Matière Condensée, UMR 7336, Parc Valrose, 06100 Nice, France

<sup>2</sup> Istituto Nazionale di Ottica (INO-CNR), Largo Enrico Fermi 6, 50125 Firenze, Italie <sup>3</sup> LENS et departement de physique, Universitá di Firenze, Sesto Fiorentino, 50019 Firenze, Italie

bruno.fedrici@unice.fr

### RÉSUMÉ

Nous reportons la génération et la détection de lumière comprimée à une longueur d'onde télécom, et ce, pour la première fois, dans une configuration entièrement guidée.

**MOTS-CLEFS :** communications quantiques; guides d'ondes; fibres optiques; lumière comprimée

### 1. Introduction

Les propriétés fondamentales de la physique quantique servent aujourd'hui de ressources à un nouveau champ de recherche désigné par le nom d'information quantique. Une des principales applications de ce domaine consiste en l'établissement de protocoles d'échanges sécurisés d'information que l'on regroupe sous le nom générique de "communication quantique". En vu du développement d'applications commercialisables, il est nécessaire de rendre ces protocoles compatibles avec les systèmes de télécommunications par fibres optiques. Dans ce cadre, des applications prometteuses ont été réalisées en employant de la lumière comprimée, pour laquelle les fluctuations d'amplitude ou de phase du champs électromagnétique sont plus petites que le niveau attendu pour un faisceau classique [1]. Bien que très encourageantes du point de vue des résultats, ces réalisations sont toutefois pour la plupart difficilement exportables dans des dispositifs commercialisable de part leur structure massive et leur approche en propagation libre. Pour répondre aux besoins technologiques actuels, nous avons mis au point un dispositif expérimental "plug and play" permettant la génération, la propagation et la détection de lumière comprimée à une longueur d'onde télécom, et ce, pour la première fois, dans une configuration entièrement guidée [2].

### 2. SCHÉMA DE L'EXPÉRIENCE ET RÉSULTATS

Le dispositif expérimental utilisé est présenté en Fig.1. Un faisceau issu d'un laser télécom continu (CW laser), émettant à 1542 nm et dont la sortie est couplée dans une fibre optique, est amplifié (EDFA) avant d'être dirigé dans un coupleur fibré 70 : 30 (f-BS). Le faisceau de plus forte intensité est doublé à 771 nm par génération de seconde harmonique dans un guide d'onde périodiquement polarisé en niobate de lithium (SHG, PPLN/W). La seconde harmonique ainsi générée est alors utilisée comme faisceau de pompe afin de générer de la lumière comprimée monomode au sein d'un guide PPLN "ridge", par processus de conversion paramétrique spontanée (SPDC, PPLN/RW). La structure "ridge" offre un fort degré de confinement garantissant une grande efficacité de conversion sans avoir recours à des cavités optiques. La fraction du laser à 1542 nm de plus faible intensité, quand à elle, est utilisée comme oscillateur local (LO) et est recombinée avec le faisceau de lumière comprimée au niveau d'un deuxième coupleur fibré 50 : 50 suivant un schéma de détection homodyne. La soustraction des photo-courants associés aux deux photodiodes InGaAs (PDs) placées en sortie du coupleur permet de remonter au niveau de compression de la lumière lorsque l'on vient parcourir de manière continue la phase de l'oscillateur local avec un contrôleur de phase fibré (Phase Ctrl).

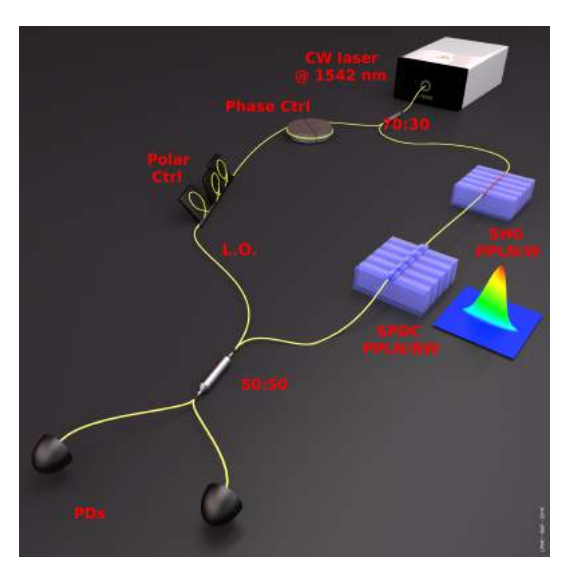


Fig.1 - Schéma du dispositif experimental.

Outre la miniaturisation du dispositif, un avantage majeur de l'approche guidée en comparaison avec celle en espace libre repose sur le fait que chaque élément du dispositif est un composant indépendant, ce qui offre ainsi à l'utilisateur un dispositif entièrement reconfigurable en vue d'expériences plus complexes. De plus, il est à noter que le mode-matching spatial entre l'oscillateur local et la lumière comprimée est automatiquement satisfait au niveau du second coupleur, un avantage majeur en comparaison des réalisation en espace libre.

La Fig.2 présente la variance du bruit en dB lors d'un scan continu de la phase de l'oscillateur local pour une puissance de pompe en entrée de SPDC de 28 mW; dans ces conditions, une valeur

de -1.83 dB de compression a été obtenu, ce qui, corrigé par les pertes à la propagation et l'éfficassité des detecteurs correspond à -3.4 dB de compression directement en sortie du PPLN ridge. Cette valeur est parmi les plus élevées observées en régime de pompage continu en simple passage.

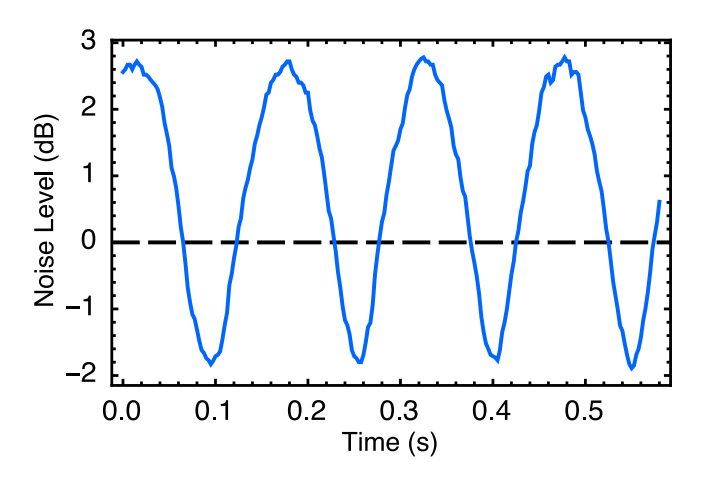


Fig.2 - Variance normalisée au bruit classique du bruit en fonction de la phase de l'oscilateur local (elle même proportionnelle au temps d'acquisition), pour une puissance de pompe en entrée du PPLN/RW de 28 mW.

## 3. CONCLUSION

En conclusion, basé sur les avancées en matière d'optique non-linéaire guidée et sur les technologies des télécoms optiques, nous avons implémenté pour la première fois un dispositif expérimental permettant la génération, la propagation et la détection de lumière comprimée monomode de manière guidée aux longueurs d'ondes des télécoms. Nous avons observé un niveau de compression du bruit de -1.83 dB. L'extrême maniabilité du dispositif qui ne requiert aucune procédure d'alignement et qui se base uniquement sur des composants "plug-and-play" entièrement compatibles avec les réseaux télécoms actuels en fait un candidat prometteur en vue d'implémenter des protocoles de communication quantique en variables continues en dehors des laboratoires.

## RÉFÉRENCES

- [1] S.L. Braunstein, and P. van Loock, "Quantum information with continuous variables", *Rev. Mod. Phys.*, vol. 77, pp. 513, 2005.
- [2] F. Kaiser, B. Fedrici, A. Zavatta, V. D'Auria, and S. Tanzilli, "A fully guided-wave squeezing experiment for fiber quantum networks", *Optica*, vol. 52, pp. 265–269, 2016.

# INFLUENCE DES PROPRIETES FREQUENTIELLES DE DIFFERENTS LASERS DML SUR LES PERFORMANCES D'UNE EMISSION DUO-BINAIRE A 20 GBIT/S

# Justine Konopacki<sup>1</sup>, Bertrand Le Guyader<sup>1</sup>, Naveena Genay<sup>1</sup>, Luiz Anet Neto<sup>1</sup>, Philippe Chanclou<sup>1</sup>, Didier Erasme<sup>2</sup>

<sup>1</sup> Orange Labs, 2 avenue Pierre Marzin, 22307 Lannion, France

<sup>2</sup> CNRS, Télécom ParisTech, Université Paris-Saclay, 75012 Paris, France justine.konopacki@orange.com

## RÉSUMÉ

La réponse fréquentielle de lasers DML est analysée afin d'évaluer la limitation de leur usage dans les transmissions optiques multi-niveaux tels que le duo-binaire.

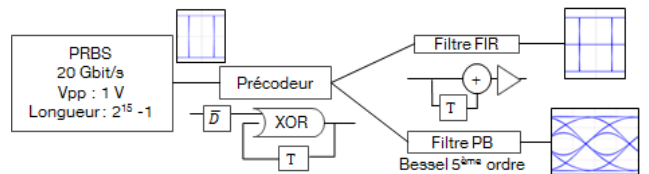
MOTS-CLEFS: DML, gigue, modulation duo-binaire, réponse fréquentielle

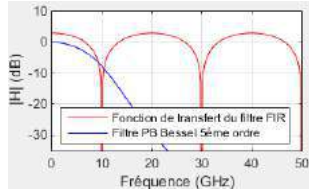
## 1. Introduction

Actuellement, le réseau d'accès optique utilise le format de modulation NRZ (Non-Returnto-Zero) basé sur la modulation d'intensité au central et de la détection directe côté utilisateur pour les transmissions de données. L'évolution actuelle du nombre d'utilisateurs et l'augmentation continue de leurs besoins contribuent à augmenter le besoin de débit en ligne. Par exemple, en Europe le nombre d'utilisateurs du réseau FTTH/B (Fiber To The Home/Building) a augmenté de 50 % en 12 mois [1]. Le NG-PON2 [2] est une solution technique basée sur le multiplexage en temps et en longueur d'onde avec 4 canaux modulés à 10 Gbit/s qui pourrait remplacer la solution G-PON [3] aujourd'hui déployée. Pour envisager des débits d'au moins 20 Gbit/s par canal, la modulation duo-binaire est une solution technique prometteuse. Le spectre d'un signal duo-binaire est comprimé par rapport à celui d'un signal NRZ à même débit. Ceci permettrait d'utiliser des composants développés pour les transmissions 10 Gbit/s à un débit de 20 Gbit/s. La compression d'un spectre NRZ nécessaire pour la transmission d'un signal duo-binaire se fait par le biais de l'introduction contrôlée d'interférence inter-symbole sur un signal NRZ de référence. On utilise idéalement un filtre à Réponse Impulsionnelle Finie (FIR) à deux coefficients mais on pourrait aussi utiliser des filtres Passe-Bas (PB) passifs au détriment de la qualité des diagrammes de l'œil du signal [4]. Dans cet article est étudié l'influence de la réponse fréquentielle de composants électrooptiques sur l'émission d'un signal duo-binaire électrique à 20 Gbit/s généré par un filtre FIR.

## 2. LA MODULATION SUR 3 NIVEAUX OPTIQUES

La modulation duo-binaire est un format de modulation basé sur 3 niveaux : « -1 », « 0 » et « 1 ». Le « 0 » binaire est codé « 0 » en duo-binaire. Le « 1 » binaire est codé soit « -1 » soit « +1 » en duo-binaire. L'inversion du signe du « 1 » duo-binaire s'effectue lorsqu'il y a un nombre impair de « 0 » entre deux « 1 » consécutifs dans la trame binaire. La génération d'un signal duo-binaire (Fig. 1a), peut s'effectuer par une solution active basée sur un filtre FIR [5] ou une solution passive basée sur un filtrage PB [6]. La fonction de transfert de la solution active (Fig. 1b. courbe



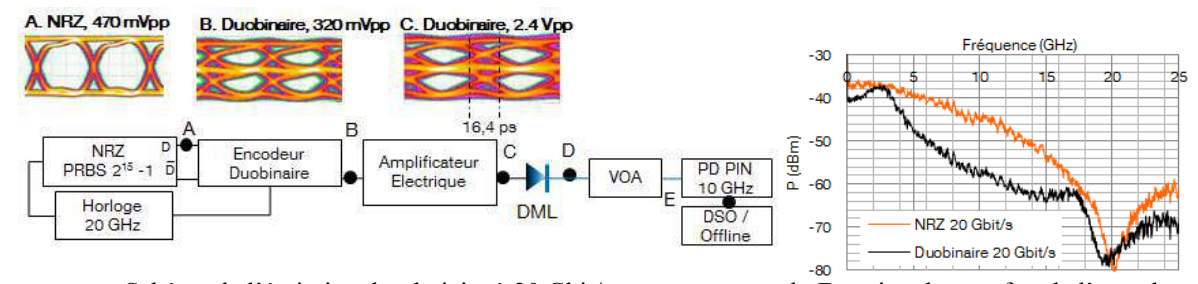


a. Solutions active et passive de génération d'un signal duo-binaire
 b. Fonctions de transfert associées
 Fig. 1 : Schémas de montage de génération d'encodeur duo-binaire actif et passif électrique.

rouge) peut être approximée par un filtre de Bessel du 5<sup>ème</sup> ordre (Fig. 1b. courbe bleue), correspondant au filtre de la solution passive. Les diagrammes de l'œil simulés montrent un diagramme de l'œil duo-binaire moins déformé dans le cas d'un encodage actif. Le spectre d'un signal duo-binaire possède une Bande-Passante (BP) réduite d'un facteur 2 [6] par rapport à un signal binaire, ce qui permettrait de transmettre un signal à 20 Gbit/s avec des composants développés pour un débit de 10 Gbit/s.

## 3. CONCEPTION D'UNE EMISSION DUO-BINAIRE A 20 GBIT/S

Les solutions investiguées sont basées sur une modulation directe de lasers transposant ainsi directement un signal électrique en signal optique. Le montage expérimental présenté sur la Fig. 2a génère un signal duo-binaire électrique d'amplitude 2,4 V à partir d'un signal NRZ connu PRBS (Pseudo Random Binary Sequence) de longueur 2<sup>15</sup>-1, à 20 Gbit/s. Ce signal NRZ est encodé en un



a. Schéma de l'émission duo-bniaire à 20 Gbit/s

b. Fonction de transfert de l'encodeur

Fig. 2 : Montage expérimental et caractéristique de l'encodeur.

signal duo-binaire (Fig. 2a). La fonction de transfert de l'encodeur est représentée Fig. 2b et montre une réduction de la BP du signal en sortie. Ce signal est amplifié jusqu'à une amplitude de 2,4 V (Fig. 2a, point C) et présente une gigue de 16,4 ps. Dans notre étude, le signal C est utilisé pour moduler trois DML (Directly Modulated Laser) différents : un DML1 émettant à 1550 nm avec une

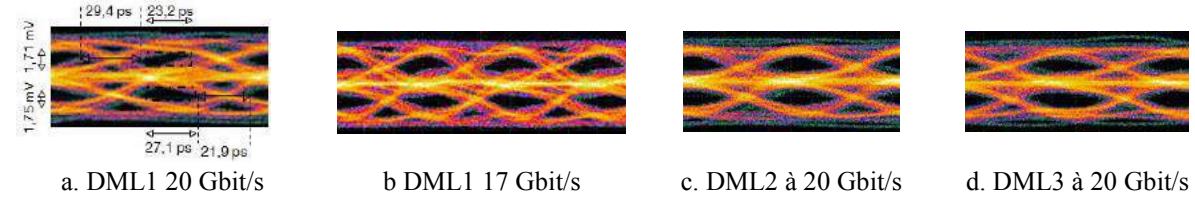


Fig. 3 : Diagrammes de l'œil optique en sortie des différents DML.

puissance optique de 10,4 dBm pour un courant de polarisation de 60 mA ; un DML2 émettant à 1550 nm avec une puissance optique de 12 dBm pour un courant de polarisation de 110 mA et un DML3 émettant à 1310 nm avec une puissance optique de 7,5 dBm pour un courant de polarisation de 60 mA. Le diagramme de l'œil du DML1 (Fig. 3a) présente une distorsion sur l'œil du haut qui réduit son ouverture (Tab. 1). Les réponses fréquentielles des DML (Fig. 4) montrent que l'augmentation du courant de polarisation modifie leur BP à -3 dB ainsi que la forme de leur réponse fréquentielle. La modification de la puissance électrique n'affecte pas les réponses fréquentielles. La réponse du DML1 (Fig. 4a) présente un « creux » (point A) de 4 dB autour de 6 GHz qui va couper ces fréquences ; limitant l'utilisation du DML1 à un débit duo-binaire supérieur à 17 Gbit/s (Fig. 3b). Les DML2 et DML3 présentent des réponses fréquentielles (Fig. 4b.  $I_{pol}$  de 100 mA et 4c.  $I_{pol}$  de 50 mA) linéaires avec une BP à -3 dB de 16 GHz, permettant une utilisation à un débit de 20 Gbit/s. La variation du retard de groupe résiduel sur la bande spectrale occupée par le

Tab. 1 : Caractéristiques des diagrammes de l'œil optiques des différents DML

	Gigue		DML1 29,4 et 21,9 ps		DML2 19,9 ps		DML3 20,60 ps	
	Ouverture du	Haut	23,2 ps	1,71 mV	26,4 ps	1,45 mV	30,6 ps	1,73 mV
	diagramme de l'œil	Bas	27,1 ps	1,75 mV	29,2 ps	1,75 mV	26,9 ps	1,52 mV

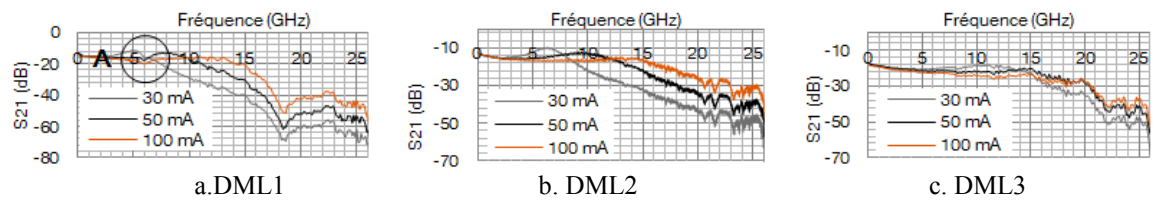


Fig. 4 : Réponse fréquentielle des DML testés pour différents courants de polarisation.

signal (delta RGD) correspond à un retard créé entre les niveaux de transmissions qui modifie les temps de montée et de descente entre chaque niveau et ajoute de la gigue visible sur la Fig. 3. Celuici est égal à 47 ps pour le DML1; 34 ps pour le DML2 et 37 ps pour le DML3 autour de 10 GHz.

## 4. CARACTERISATION OFFLINE DE L'EMISSION DUO-BINAIRE A 10 GBIT/S

Le signal optique (Fig. 2 point D) est détecté par une PhotoDiode (PD) PIN de BP électrique à -3 dB de 10 GHz. Le signal électrique est numérisé grâce à un DSO (Digital Storage Oscilloscope) de 12 GHz de BP avec un taux d'échantillonnage de 40 GSamples/s, soit 4 échantillons par bit à 10 Gbit/s ce qui limite nos mesures à ce débit. Un traitement offline décode le signal duo-binaire en signal binaire et le compare à la trame NRZ initialement envoyée. Les résultats Fig. 4 sont comparés à une transmission NRZ à 10 Gbit/s dans les mêmes conditions expérimentales mais avec un taux d'erreur (BER) mesuré via un analyseur de trame PRBS. La transmission duo-binaire réalisée avec le DML1 génère une pénalité de 4 dB sur le Budget Optique (OB) ; et de 1,5 dB avec les DML2 et DML3, montrant le besoin d'utiliser des composants avec une réponse fréquentielle linéaire.

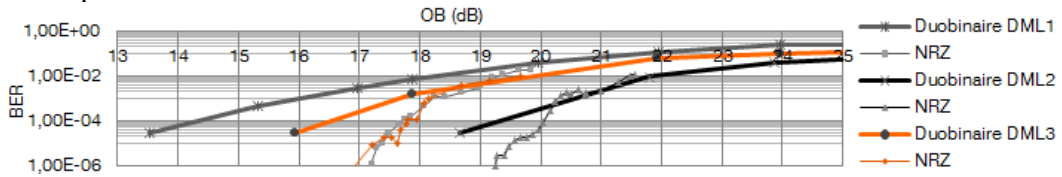


Fig. 4: Variation du BER en fonction du budget optique pour une modulation à 10 Gbit/s.

## **CONCLUSION**

L'utilisation de DML à l'émission duo-binaire entraîne des pénalités sur le budget optique par rapport à une transmission NRZ. L'utilisation de DML avec une réponse fréquentielle linéaire et une amplitude de signal modulant occupant la plus grande plage d'utilisation du composant serait nécessaire pour obtenir les mêmes performances qu'une transmission NRZ. Un delta RGD faible permettrait de réduire les temps de descente et de montée entre les niveaux et la gigue afin d'être plus robuste à la dispersion chromatique dans le cas de transmissions sur fibre optique.

## REFERENCES

- [1] Fiber to the Home Council Europe, "FTTH subscribers in Europe: nearly 15 million homes!", Press release, février. 2015.
- [2] ITUT G. 989.1, "40-Gigabit-capable passive optical networks (NG-PON2): General requirements, " mars 2013. https://www.itu.int/rec/T-REC-G.989.1/fr
- [3] G-PON G. 984.1, "Gigabit-capable passive optical networks (GPON): General characteristics, ", mars 2008. https://www.itu.int/rec/T-REC-G.984.1/fr
- [4] Z. Li, L. Yi, X. Wang and W. Hu, "28 Gb/s duobinary signal transmission over 40 km based on 10 GHz DML and PIN for 100 Gb/s PON," OSA, Optics Express, Vol. 23, No. 16, pp., 2015.
- [5] Rupinder K; Sanjeev D, "Duobinary Modulation Format for Optical System- A Review," International Journal of Advances Research in Electrical, Electronics and Instrumentation Engineering, VOL 3, NO 8, août 2014, doi: 10.15662/ijareeie.2014.030801.
- [6] Lender A., "The Duobinary Technique for High-Speed Data Transmission," American Institute of Electrical Engineers, Part I: Communication and Electronics, Transactions of the VOL 82 Issue: 2, mai 1963, doi: 10.1109/TCE.1963.6373379.

# DEMONSTRATEUR WDM TRES HAUT DEBIT SUR SILICIUM CONSTITUE D'ANNEAUX RESONANTS

Jean-Baptiste Quélène<sup>1,2</sup>, Yannis LeGuennec<sup>2</sup>, Jean-François Carpentier<sup>1</sup>, Patrick Le Maître<sup>1</sup>

<sup>1</sup> STMicroelectronics, 850 Rue Jean Monnet, 38920 Crolles, Franc <sup>2</sup>Univ. Grenoble Alpes, IMEP-LAHC, F-38000 Grenoble, France

jb.quelene@gmail.com

## RÉSUMÉ

Nous présentons un démonstrateur *WDM* 4 x 10 Gbit/s constitué d'anneaux résonants. L'amplitude des signaux observés est en accord avec la pénalité des modulateurs évaluée par une analyse statique.

MOTS-CLEFS: Photonique sur Silicium, WDM, résonateurs optiques

## 1. Introduction

Le domaine de la photonique sur silicium offre la possibilité de réaliser des liens optiques satisfaisant de fortes contraintes de densité d'intégration et d'énergie consommée. Cette technologie est envisagée pour supplanter les interconnexions électriques très haut débit entre puces. Elle intègre sources optiques, modulateurs et récepteurs aux wafers SOI habituellement utilisés pour la microélectronique CMOS. Les résonateurs optiques en anneau offrent une grande compacité (rayons de quelques microns) et une bonne efficacité énergétique en comparaison avec des modulateurs de Mach-Zehnder [1]. Ils donnent également la possibilité de réaliser un multiplexage/démultiplexage en longueur d'onde (WDM) pour viser des débits de plusieurs centaines de Gbit/s. Un schéma typique d'architecture WDM est donné en exemple sur la figure Fig. 1 représentant N porteuses optiques espacées de  $\Delta\lambda_{WDM}$ , modulées par N modulateurs (TX) et démultiplexées par N filtres (RX). La conception d'un tel lien nécessite une évaluation rigoureuse du budget optique à travers le calcul de pénalités en puissance optique [2],[3].

Nous présentons dans ce papier un démonstrateur fabriqué au sein d'une plateforme photonique industrielle 300 mm constitué de quatre modulateurs et quatre filtres récepteurs en anneau espacés de 300 GHz dans le spectre permettant un débit total de 4 x 10 Gbit/s.

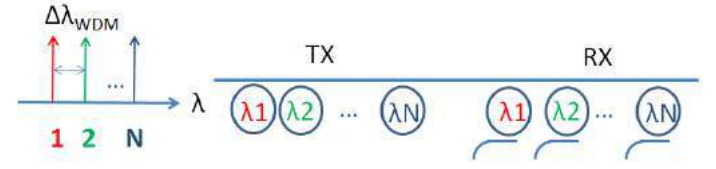


Fig. 1 : Schéma du circuit WDM.

### 2. DEMONSTRATEUR WDM

Le démonstrateur présenté en figure Fig. 2 est constitué d'un transmetteur et d'un récepteur WDM à quatre canaux. Le rayon des anneaux de 8  $\mu$ m et la longueur de couplage d'environ 2  $\mu$ m permet de multiplexer les canaux avec un espacement de 300 GHz dans l'intervalle spectral libre de  $\sim$ 7 nm. La longueur de couplage des anneaux est variée d'un pas d'environ 50 nm de manière à ce que les résonances soient correctement positionnées dans le spectre. Les modulateurs en déplétion

utilisés ont des facteurs de qualité élevés d'environ 17000 et une efficacité de 13 pm/V autorisant un débit par canal de 10 Gbit/s. Les anneaux à la réception filtrent les longueurs d'onde auxquelles ils sont alloués et les dirigent vers des photodiodes intégrées en germanium. Deux porteuses optiques peuvent être couplées simultanément dans le circuit grâce à des réseaux de couplage, modulées par deux modulateurs alimentés par une sonde radiofréquence (Fig. 2) puis reçues à l'aide d'une autre sonde identique. Les anneaux sont munis de résistances chauffantes alimentées par une sonde DC (Fig. 2). Elles permettent d'ajuster leur position spectrale par effet thermo-optique.

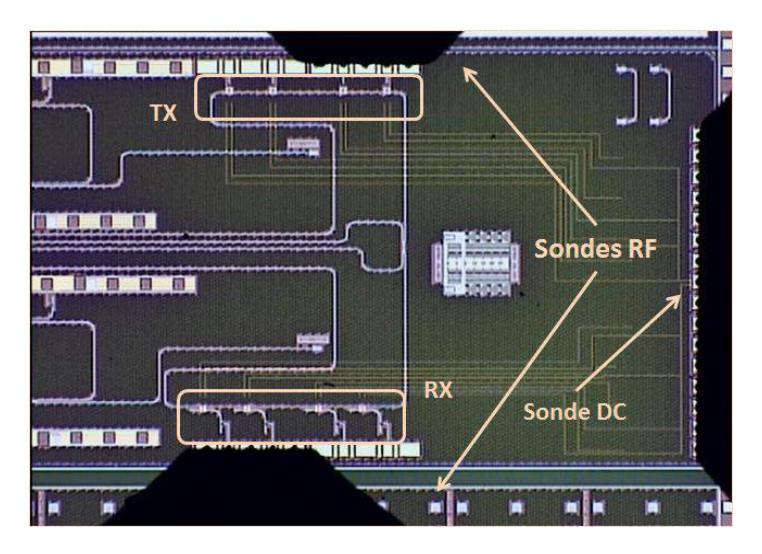


Fig. 2: Photographie du circuit photonique

## 3. PREDICTION DES PERFORMANCES DU MODULATEUR PAR UNE ANALYSE STATIQUE ET COMPARAISON AUX MESURES

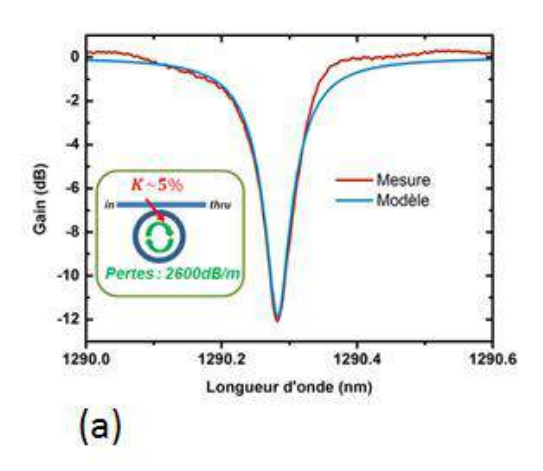
La pénalité associée à un modulateur en anneau, basée sur l'amplitude de modulation optique (OMA) et normalisée par la puissance laser en entrée  $P_{in}$  est donnée par la formule :

$$p\'{e}nalit\'{e} = -10\log(\frac{OMA}{2P_{in}}). \tag{1}$$

Cette pénalité dépend de la position de la résonance par rapport à la longueur d'onde de la porteuse et il existe une position optimale pour laquelle la pénalité minimale  $P_{min}$  est atteinte. A partir de la réponse spectrale d'un modulateur donné (Fig. 3), nous pouvons estimer les valeurs de son coefficient de couplage (K) et des pertes dans sa cavité en l'identifiant à un modèle Lorentzien idéal. Grâce à un logiciel commercial [4], nous pouvons calculer la pénalité du modulateur pour différentes positions et en déduire une valeur simulée de  $P_{min}$ . En mesurant l'amplitude du diagramme de l'œil correspondant à ce même modulateur pour différentes longueurs d'onde, la pénalité est calculée et donne des résultats proches des simulations. Cette méthode permet ainsi d'estimer la pénalité en puissance d'un modulateur à partir de sa réponse spectrale.

## 4. RESULTATS

La figure Fig. 4(a) représente des diagrammes de l'œil obtenus en sortie du circuit pour des longueurs d'onde de 1303.4 nm, 1305.1 nm correspondant aux deux premiers modulateurs et au deux premiers filtres. De la même manière, des diagrammes de l'œil sont obtenus aux longueurs d'onde de 1306.7 nm et 1308.3 nm (Fig. 4(b)) en utilisant les deux autres modulateurs et les deux autres récepteurs. L'amplitude des signaux obtenus de l'ordre de 6mV est en accord avec la pénalité évaluée par la méthode présentée en section 3.



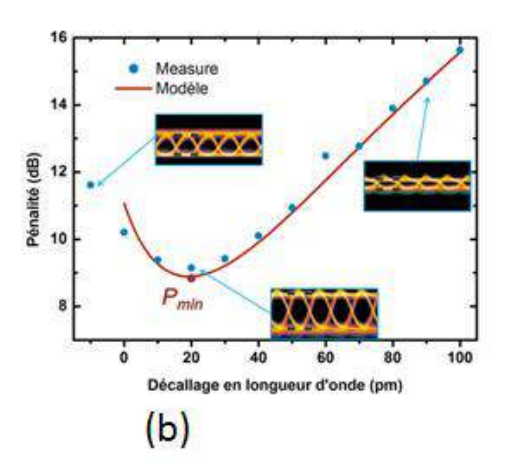


Fig. 3: (a) Transmission spectrale d'un anneau: modèle (bleu) et mesure (rouge). (b) Pénalité en puissance simulée (rouge) et mesurée (bleu) fonction du décalage spectrale entre résonateur et porteuse.

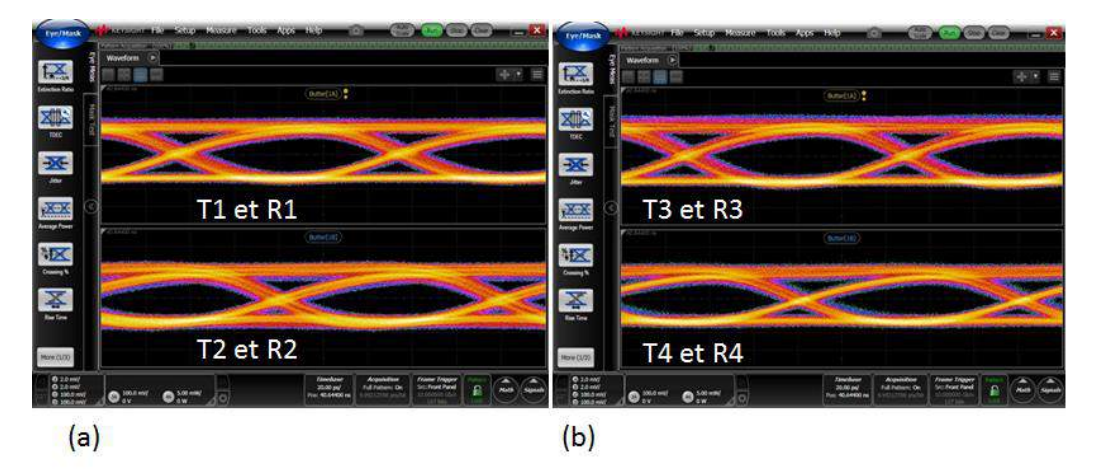


Fig. 4 : Diagrammes de l'œil mesurés.

## **CONCLUSION**

Le démonstrateur présenté réalise une liaison optique WDM haut débit au sein d'une même puce électronique. La mise en œuvre du démonstrateur met en évidence son bon fonctionnement aux quatre canaux espacés de 300 GHz. L'amplitude des signaux obtenus est en accord avec la pénalité du modulateur calculée à partir de sa réponse spectrale.

## RÉFÉRENCES

- E. Temporiti et al., ESSCIRC 2014, pp 131-134.
- [2] N. Ophir et al., IEEE Micro, vol. 33, no. 1, pp. 54–67 (Jan./Feb. 2013). [3] S. Menezo et al., IEEE OIC, pp. 21-22, (May 2013).
- [4] www.lumerical.com